

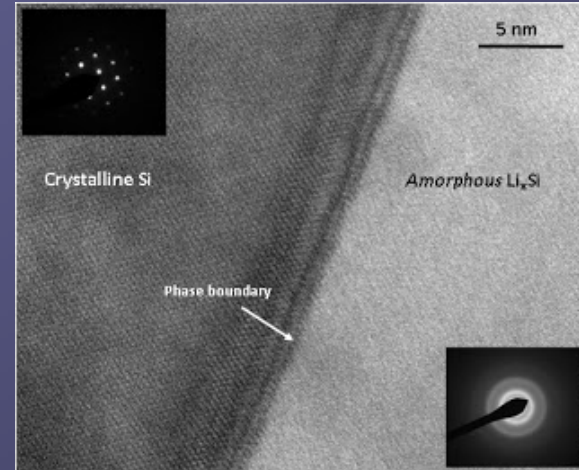
Fázové heterogenní rovnováhy

Fáze = homogenní část soustavy, jednoznačně oddělná fyzickým rozhraním, na rozhraní se vlastnosti mění skokem

Rovnováha

- **Tepelná** - T všude stejná
- **Mechanická** - p všude stejný
- **Chemická** - látkové množství jednotlivých složek se nemění, $dG = 0$, **chemický potenciál** všech složek ve všech fázích je stejný

Podmínka koexistence fází:
mají stejnou G , přechod mezi fázemi $\Delta G = 0$



Chemický potenciál

$$\mu_i = \left(\frac{\partial G}{\partial n_i} \right)_{T,p,n_j}$$

Změna G se změnou složení n_i

Pro popis soustav, u kterých se mění složení

Rozdíl v chemickém potenciálu vede k chemické reakci, difuzi,....

Chemický potenciál každé složky ve všech koexistujících fázích je stejný.

Gibbsův fázový zákon

Fáze (P) = homogenní část soustavy (vlastnosti, struktura), rozhraní, skoková změna vlastností, skupenství (s, l, g), modifikace (led I - XII, He I a II)

P = 1: směs plynů, roztok

P = 2: kapalina + nasycená pára, nasycený roztok + pevná látka

P = 3: kapalina + nasycená pára + pevná látka

Kolik různých plynných fází může koexistovat?

Složka (C) = čistá látka

Počet složek = minimální počet čistých látek,

Méně, pokud jsou vázány chemickou reakcí: CaCO_3 , CO_2 , CaO

Stupeň volnosti (V) = parametry soustavy p, T, c

Počet stupňů volnosti = lze měnit aniž by se změnil počet fází

Gibbsův fázový zákon

- Každá fáze P potřebuje $C - 1$ údajů o složení (molární zlomky x_i) plus T a p k popsání stavu,
celkově $P(C - 1) + 2$ stavových **proměnných**
- Pro každou složku C platí $P - 1$ rovnovážných podmínek
 $\mu(\alpha) = \mu(\beta), \mu(\beta) = \mu(\gamma), \mu(\gamma) = \mu(\delta), \dots$
rovnost chemických potenciálů složky v P fázích ($\alpha, \beta, \gamma, \delta$)
celkem $C(P - 1)$ **podmínek**
- Počet stupňů volnosti V = počet **proměnných** minus počet
vazných **podmínek**
- $V = P(C - 1) + 2 - C(P - 1)$
- **$V = C - P + 2$**

Gibbsův fázový zákon

$$P + V = C + 2$$

Fáze (P)

Stupně volnosti (V)

Složky (C)

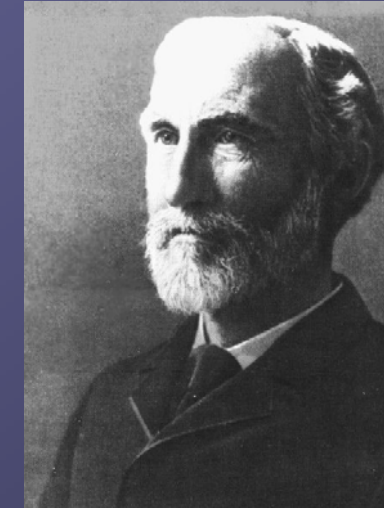
Pro $C = 1$ jednosložková soustava

$P = 1$ $V = 2$ plocha

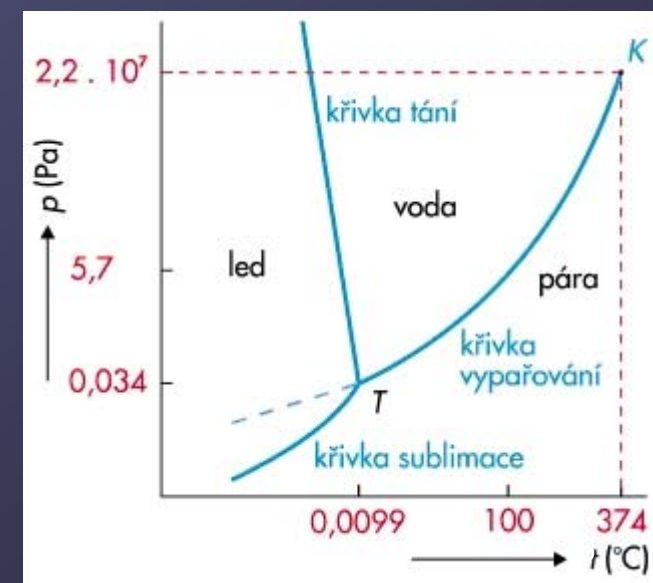
$P = 2$ $V = 1$ křivka

$P = 3$ $V = 0$ trojný bod

----- Tlak par metastabilní
přechlazené vody



J. Willard Gibbs
(1839 - 1903)



Fázový diagram

Fázový diagram = grafická informace o stavu soustavy

Proměnné – tlak, teplota, C – 1 údajů o složení (molární zlomky)

pro více než 1 složku v soustavě musí být fázový diagram 3 a vícerozměrný

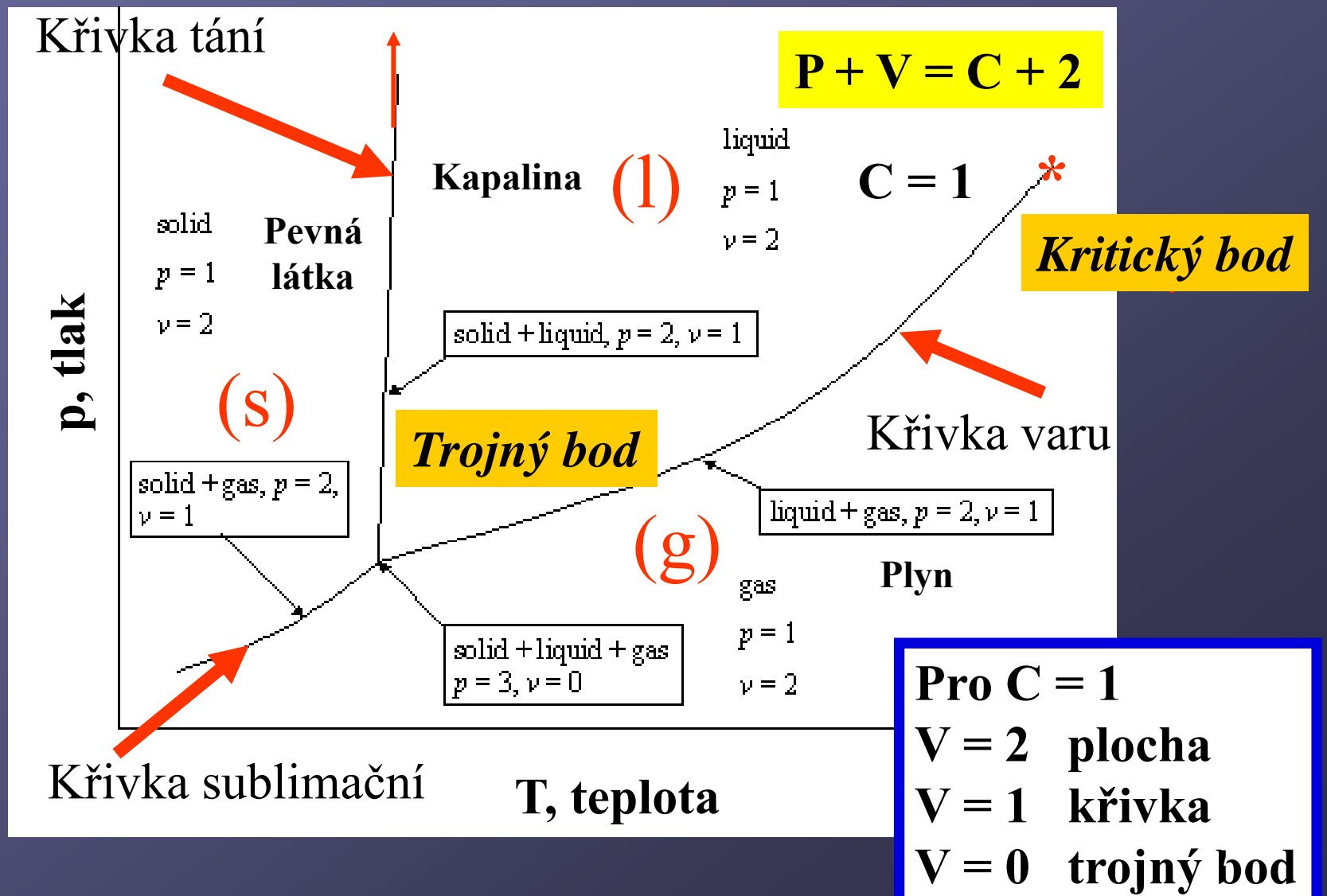
Řezy fázovým diagramem – některé proměnné držíme konstantní:

p = konst. izobarický diagram

T = konst. izotermický diagram

c = konst. izokoncentrační diagram

Fázový (p-T) diagram pro jednosložkovou ($C = 1$) soustavu



Fázový diagram jednosložkové soustavy

Trojný bod – Teplota a tlak při nichž jsou tři fáze v rovnováze

Je možný čtverný bod?

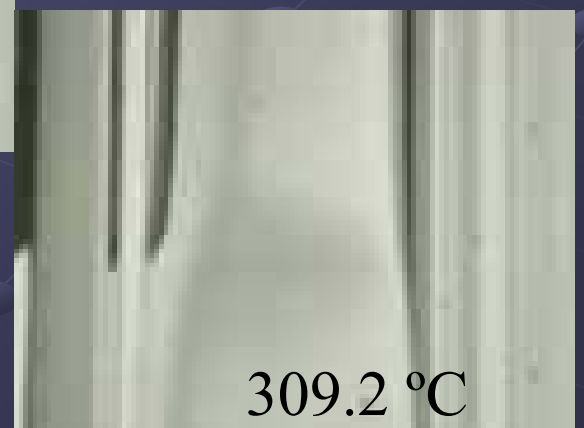
Kritický bod – zakončuje křivku vypařování, nad k. b. jsou kapalná a plynná fáze nerozlišitelné, zmizí meniskus

- **Kritická teplota** - minimální teplota pro zkapalnění plynu zvýšeným tlakem. Plyn, který má teplotu vyšší než je k. t., nelze žádným stlačováním zkapalnit
- **Kritický tlak** - minimální tlak, který je při k. t. nutný pro zkapalnění plynu

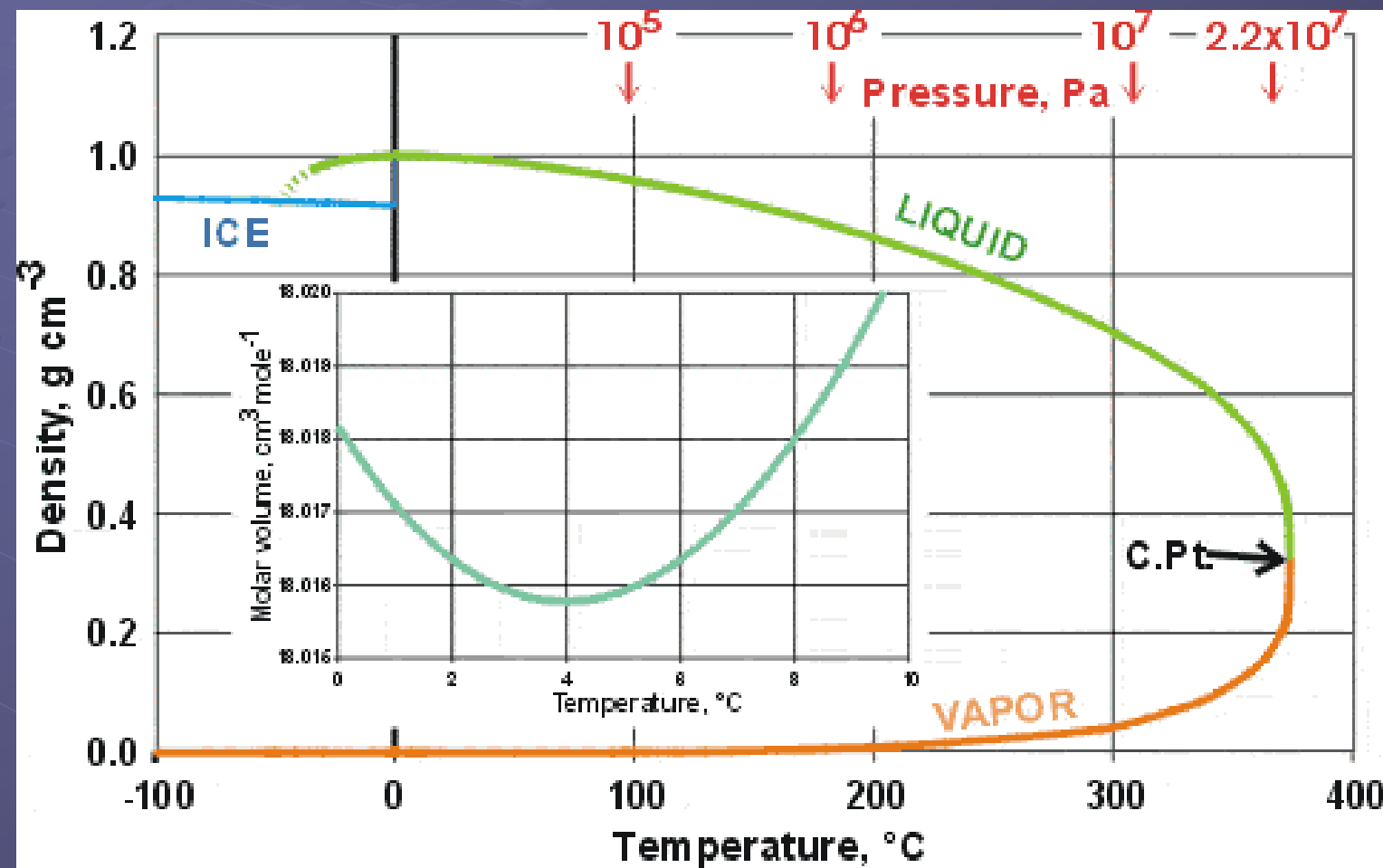
Kritický bod benzenu



Zmizí fázové rozhraní mezi l a g
(meniskus)



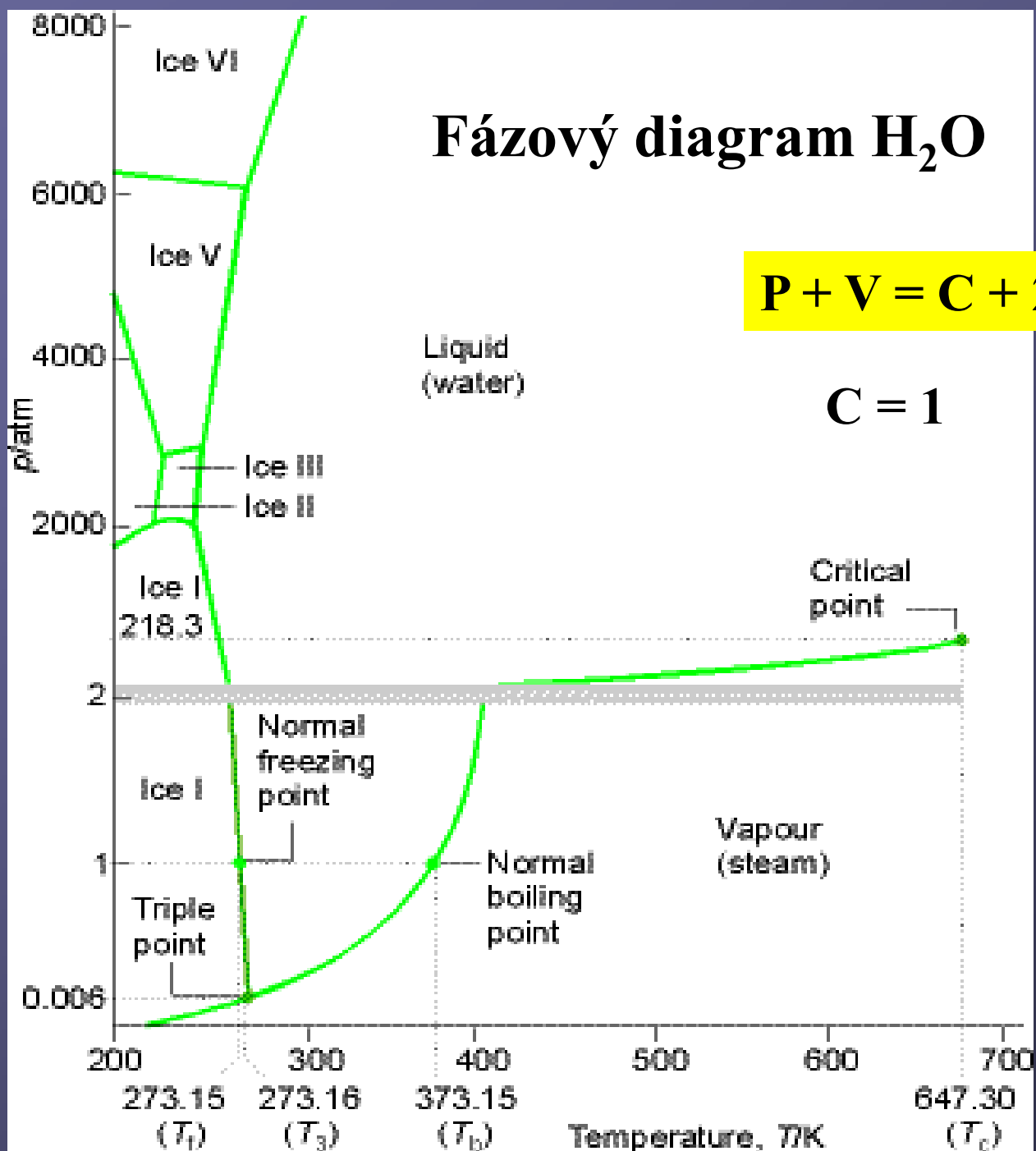
Hustota vody (g, l, s) v kritickém bodě



Fázový diagram H_2O

$$P + V = C + 2$$

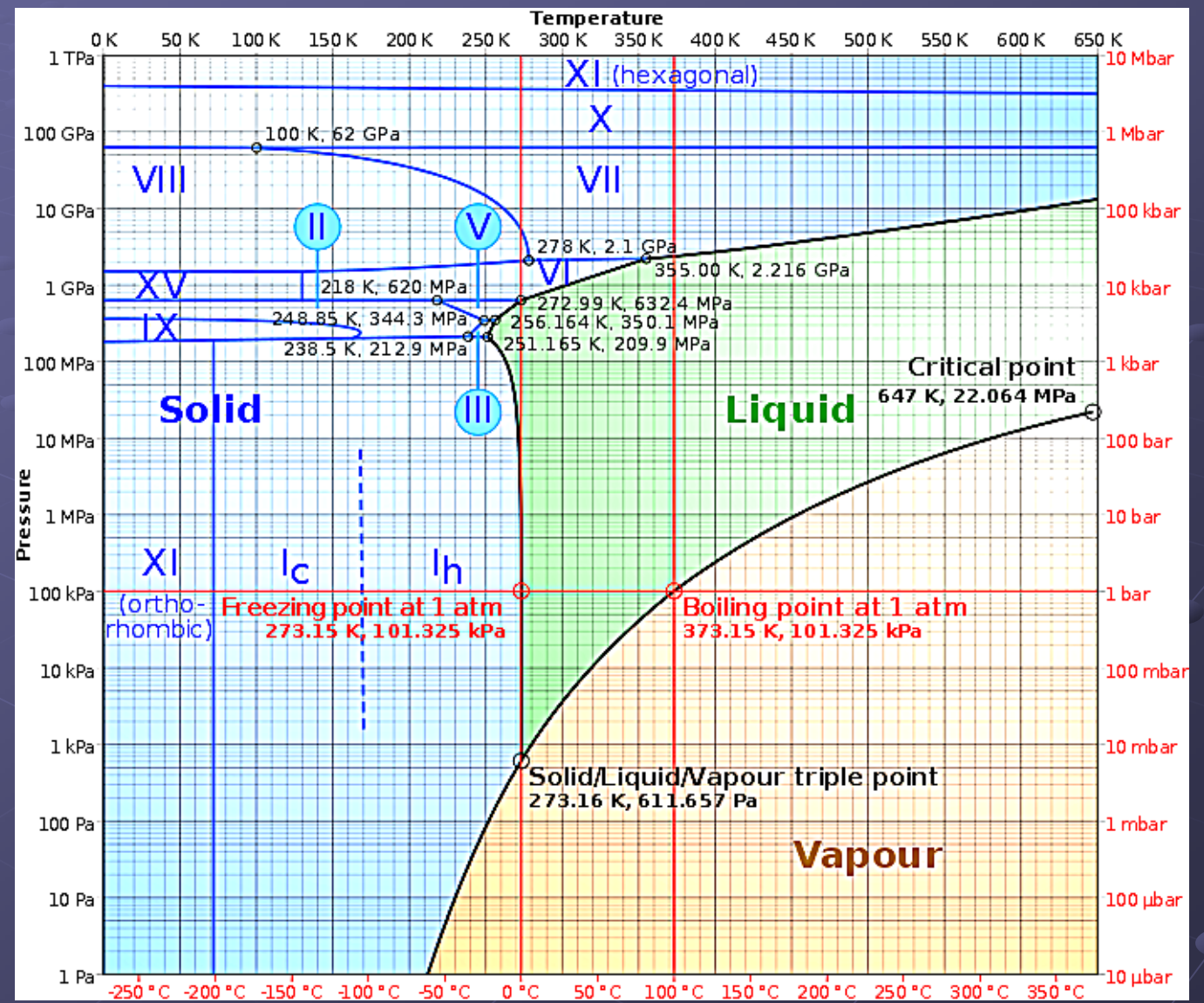
$$C = 1$$



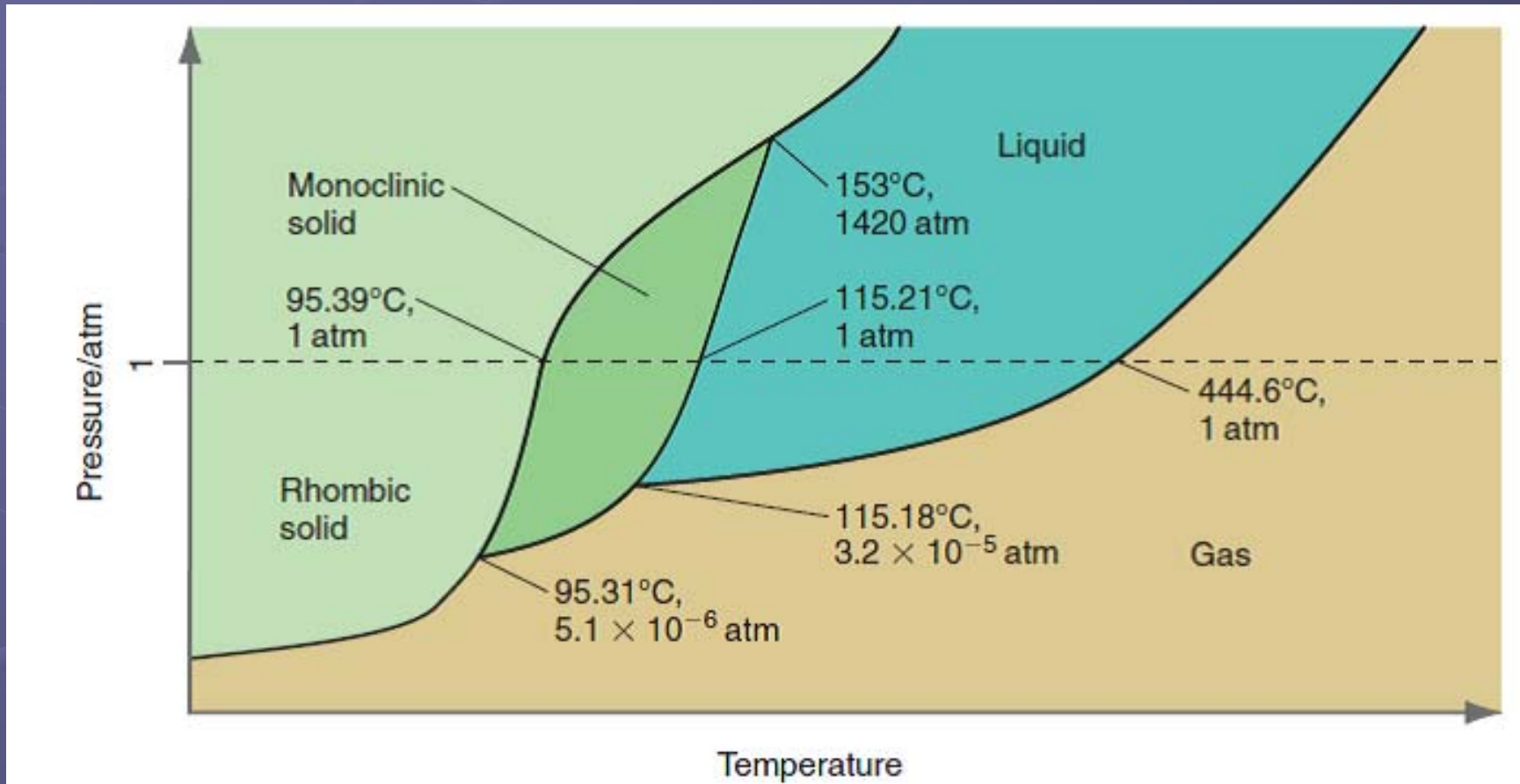
Fázový diagram ledu - vody - páry

17
polymorfních
fází ledu

Normální led
 I_h
hexagonální



Fázový diagram síry



Clausius-Clapeyronova rovnice

Clapeyronova rovnice
pro fázovou přeměnu:

$$\frac{dp}{dT} = \frac{\Delta H_m}{T\Delta V_m}$$

Molární skupenské teplo

Změna molárního objemu

Pro l-g rovnováhu – křivka varu:

1) $V_m(g) \gg V_m(l)$, pak $\Delta V_m = V_m(g) - V_m(l) = V_m(g)$

2) $V_m(g)$ ze stavové rovnice id. plynu

Diferenciální Clausius-Clapeyronova rovnice

$$V_m(g) = \frac{RT}{p}$$

$$\frac{d \ln p}{dT} = \frac{\Delta H_m}{RT^2}$$

Integrovaná Clausius-Clapeyronova rovnice

$$\ln \frac{p_2}{p_1} = \frac{-\Delta H_{výp}^0}{R} \left(\frac{1}{T_2} - \frac{1}{T_1} \right)$$

Změna tenze par vody s teplotou



$$\Delta H_{výp}^0 = 40,66 \text{ kJ mol}^{-1}$$

$$K_p = P_{\text{H}_2\text{O}}$$

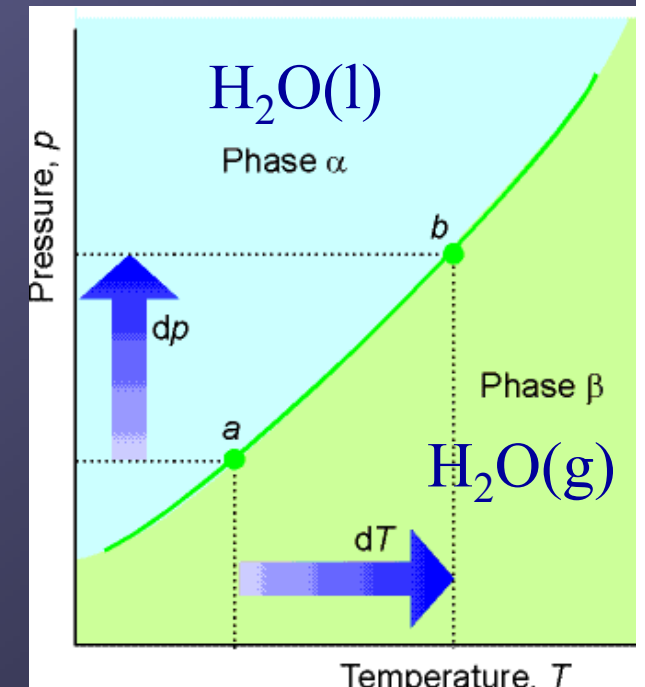
van't Hoffova rovnice

$$\ln \frac{K_2}{K_1} = \ln \frac{P_T}{P_{\text{var}}} = \ln P_T = \frac{\Delta H_{výp}^0}{R} \left(\frac{1}{T_{\text{var}}} - \frac{1}{T} \right)$$

$$P_{\text{var}} = 1 \text{ atm}$$

Clausius-Clapeyronova rovnice

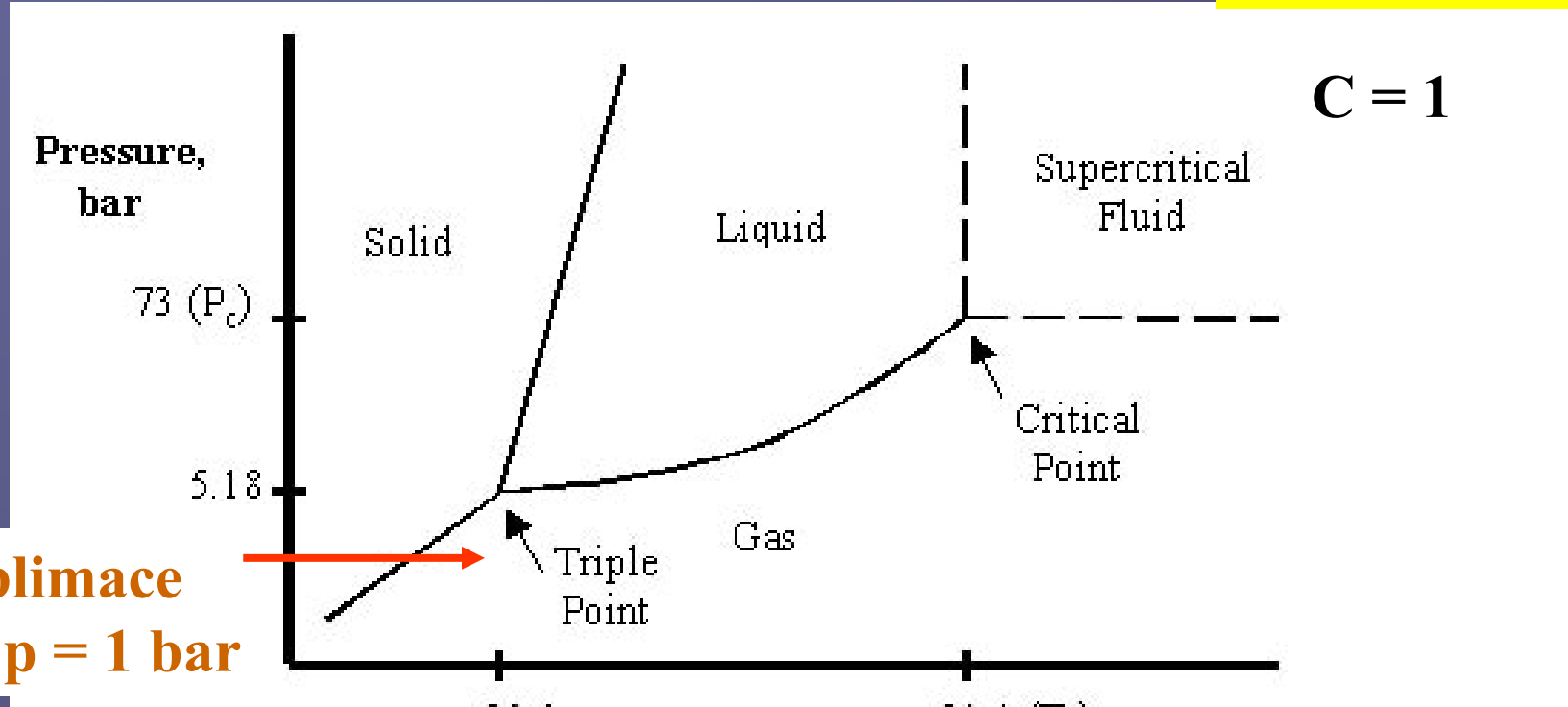
$$\ln \frac{P_2}{P_1} = \frac{-\Delta H_{výp}^0}{R} \left(\frac{1}{T_2} - \frac{1}{T_1} \right)$$



Fázový diagram CO_2

Suchý led

$$P + V = C + 2$$



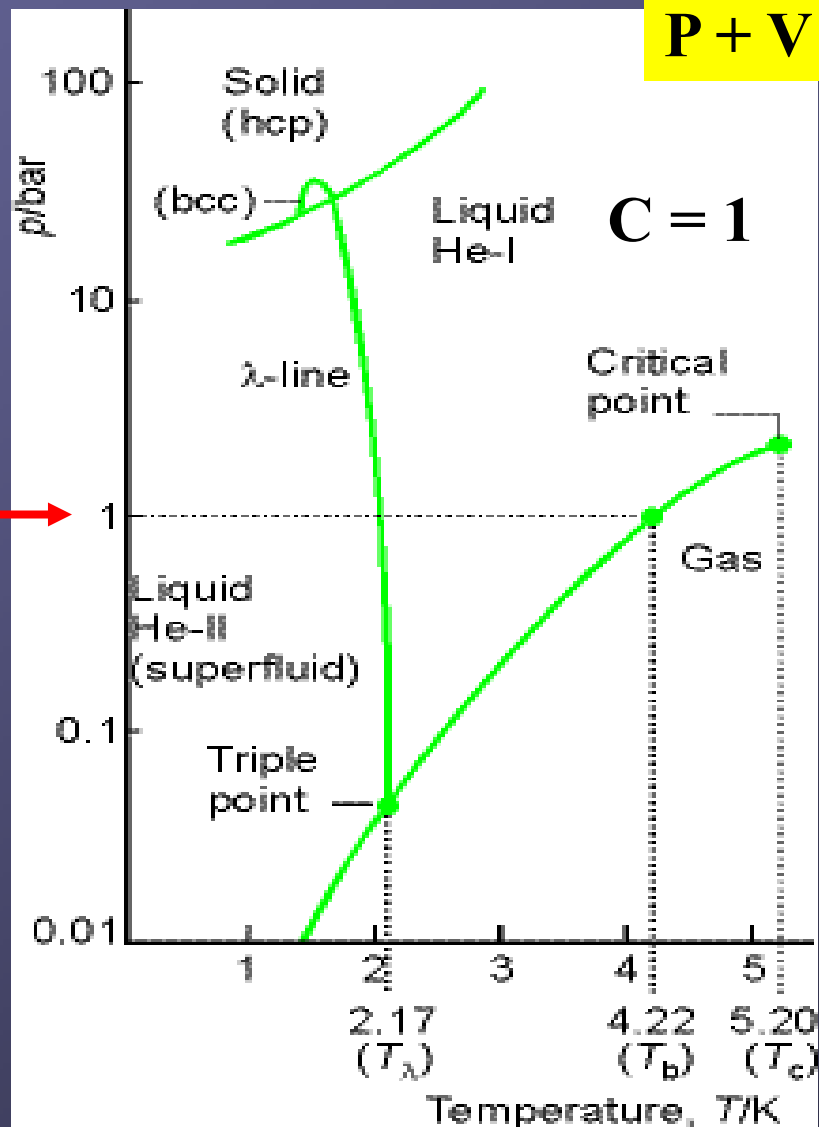
Phase Diagram for carbon dioxide.

Fázový diagram He

He nelze převést do pevného stavu za normálního atmosferického tlaku

He nemá trojný bod koexistence g-l-s fází

$$P + V = C + 2$$



Fázový diagram pro dvousložkovou soustavu

$$C = 2, P + V = 4$$

$$V = 4 - P$$

Minimálně jedna fáze

musí být přítomna $P = 1$

$$V_{\max} = 3 \text{ (T, p, x)}$$

Tři parametry = třírozměrný
fázový diagram

Na dvourozměrném diagramu:

$$V = 2$$

- **Izotermický** $T = \text{konst.}$

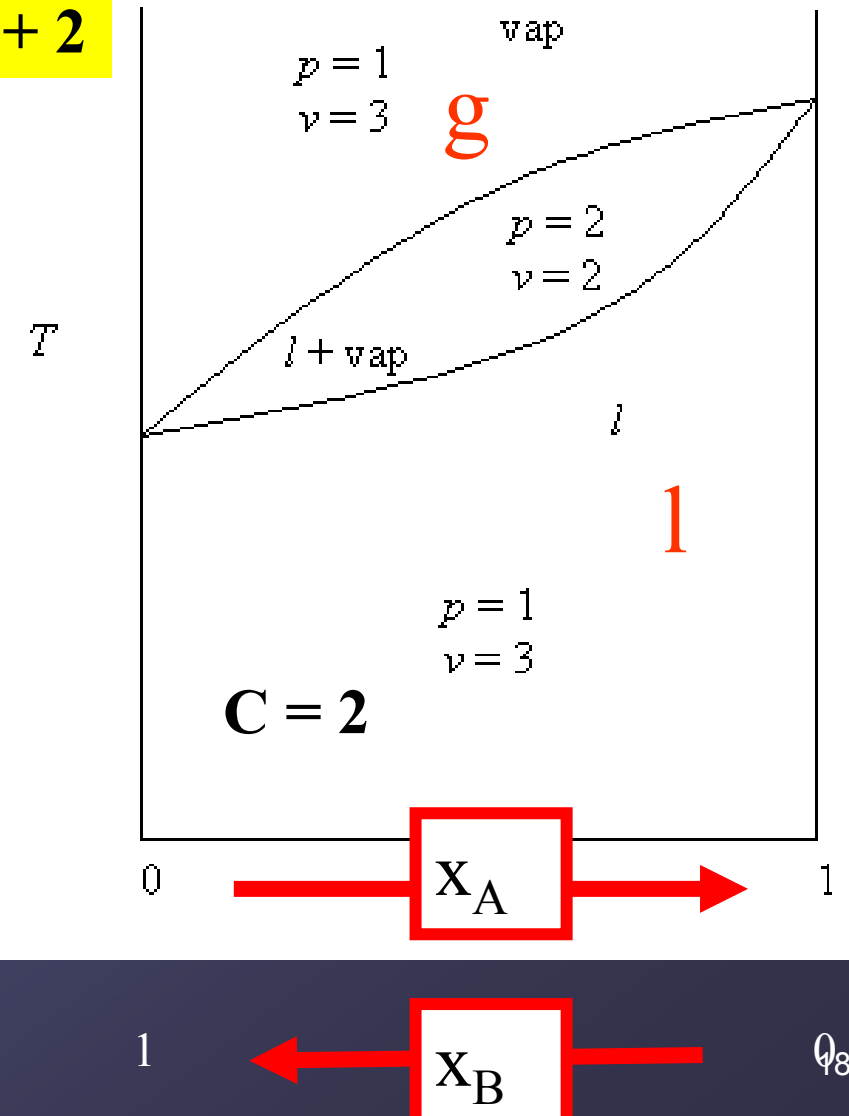
p jako funkce x

- **Izobarický** $p = \text{konst.}$

T jako funkce x

$$P + V = C + 2$$

Izobarický: $p = \text{konst.}$



Směs dvou kapalin

Ideální směs (chování) dvou kapalin:

vdW interakce **A-A**, **B-B** a **A-B**

jsou přibližně stejné

hexan-heptan

Chemicky podobné látky

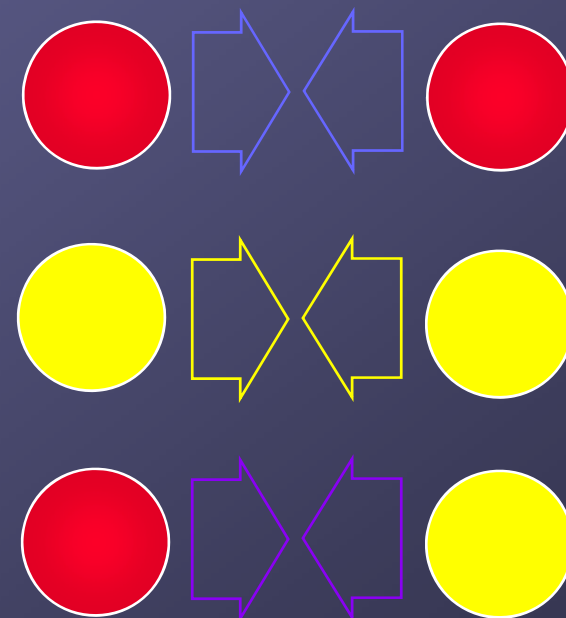
$$\Delta H_{\text{rozp}} = 0 \quad \Delta V_{\text{rozp}} = 0$$

Neideální chování kapalin:

vdW interakce **A-A**, **B-B** jsou různé

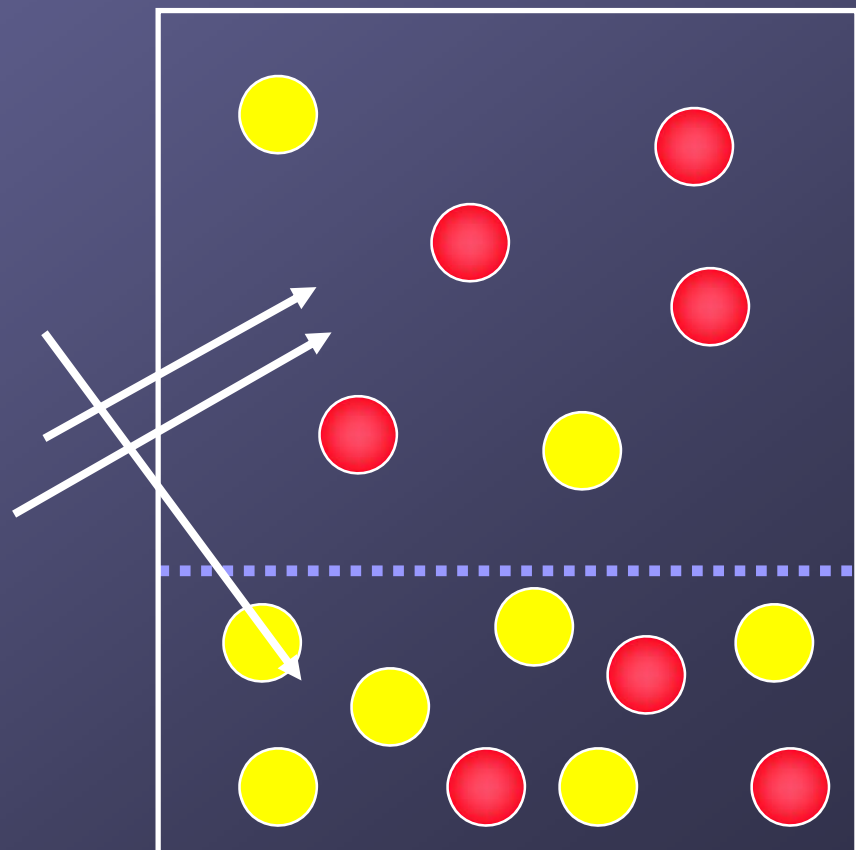
(větší nebo menší) než **A-B**

$$\Delta H_{\text{rozp}} \neq 0 \quad \Delta V_{\text{rozp}} \neq 0$$



Rovnováha $l \rightleftharpoons g$ ve směsi dvou kapalin

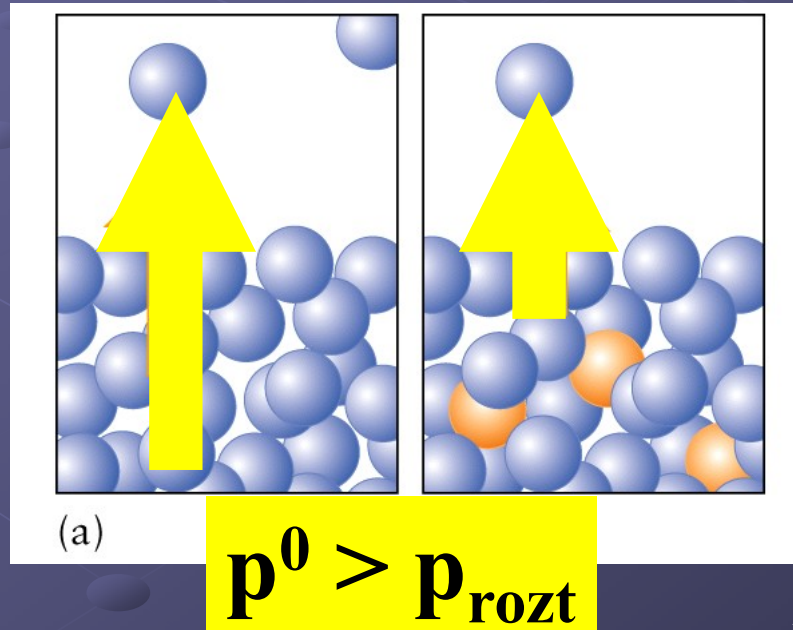
- Obě fáze jsou směsi **A** a **B**
- x_A, x_B molární zlomky v l.
- y_A, y_B molární zlomky v g.
- p_A, p_B parciální tlaky v g.



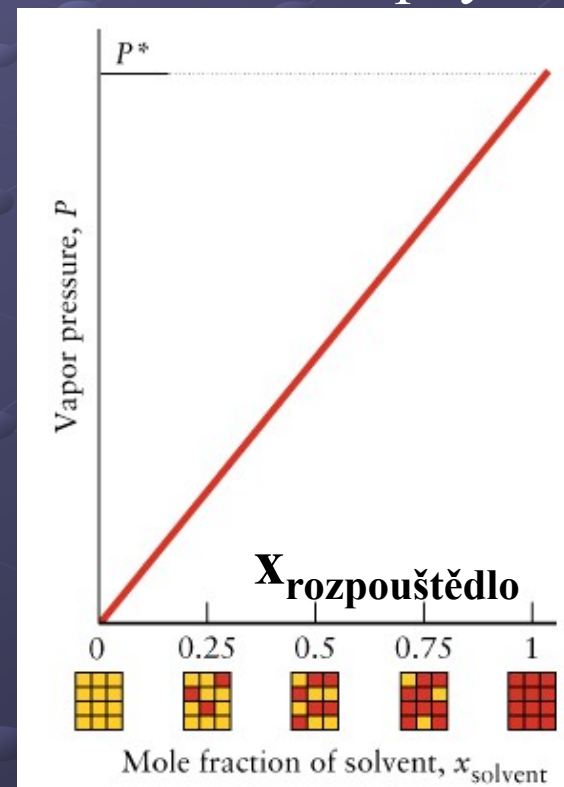
Snížení tlaku par nad roztokem

Přidavek rozpouštěné látky do rozpouštědla vede ke snížení tlaku par dvěma mechanismy

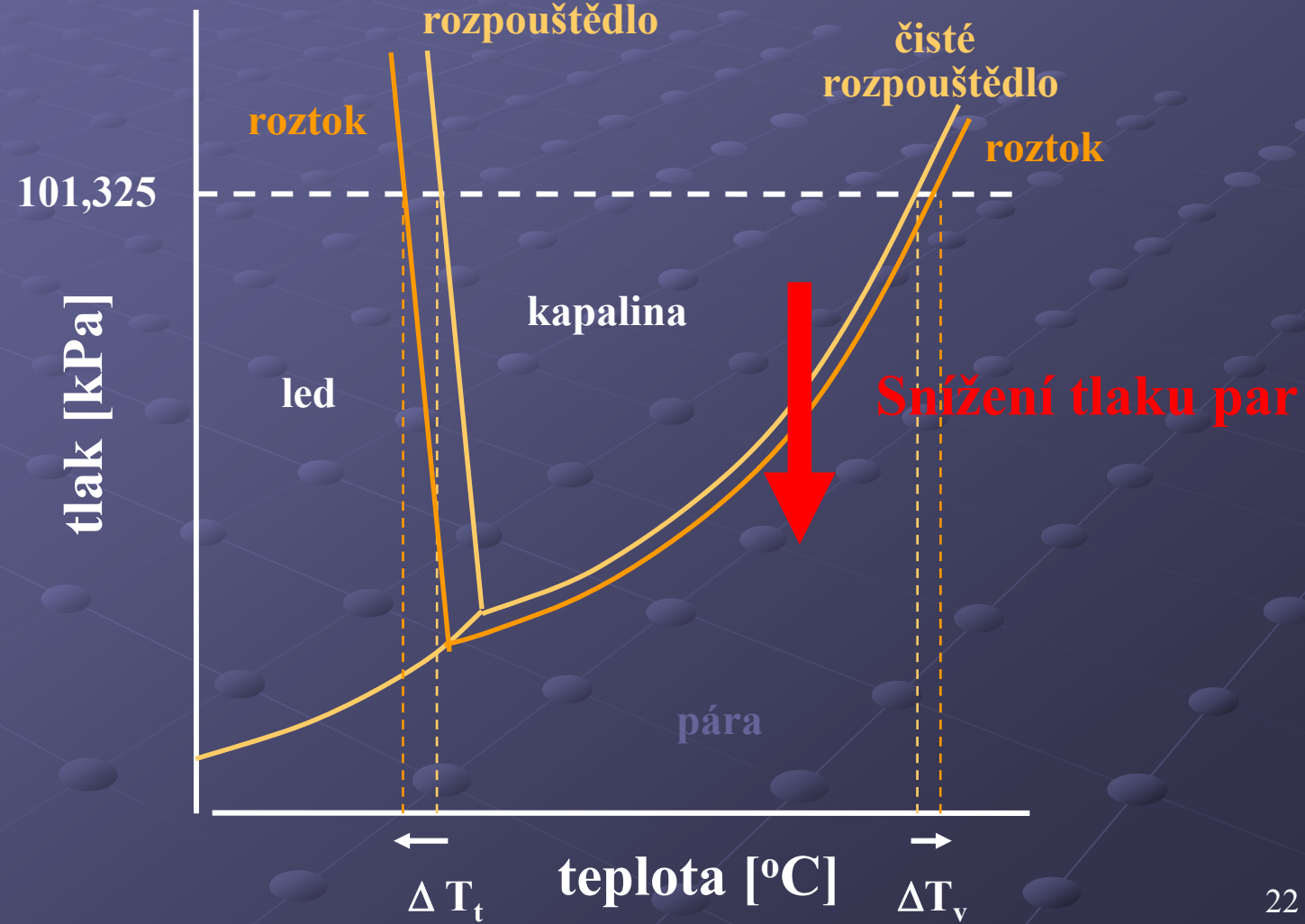
1. Vzrůst entropie roztoku sníží hnací sílu pro vypařování
2. Zředění rozpouštědla sníží počet molekul schopných opustit povrch roztoku



21



Snížení tlaku par nad roztokem má za následek snížení teploty tání a zvýšení teploty varu



Raoultův zákon

Tlak par rozpouštědla nad roztokem je roven součinu tlaku par čistého rozpouštědla P° a molárního zlomku rozpouštědla x_1

Tlak par rozpouštědla nad roztokem

$$p_{\text{rozpouštědla}} = x_1 P^\circ_{\text{rozpouštědla}}$$

Celkový tlak par nad roztokem

$$p_{\text{celkový}} = p_{\text{rozpouštědla}} + p_{\text{rozpuštěné látky}}$$

$= 0$ pro netěkavé látky (NaCl)

$$p_{\text{celkový}} = x_1 P^0_{\text{rozpouštědla}}$$

Raoultův zákon

$$P_1 = x_1 P_1^\circ \quad (x_1 = \text{rozpouštědlo})$$

$$x_1 = 1 - x_2 \quad (x_2 = \text{rozpuštěná látka})$$

$$P_1 = (1 - x_2) P_1^\circ$$

$$P_1 = P_1^\circ - x_2 P_1^\circ$$

$$P_1^\circ - P_1 = \Delta P_1 = x_2 P_1^\circ$$

Dvě těkavé látky, A a B

$$P_A = x_A P_A^\circ$$

$$P_B = x_B P_B^\circ$$

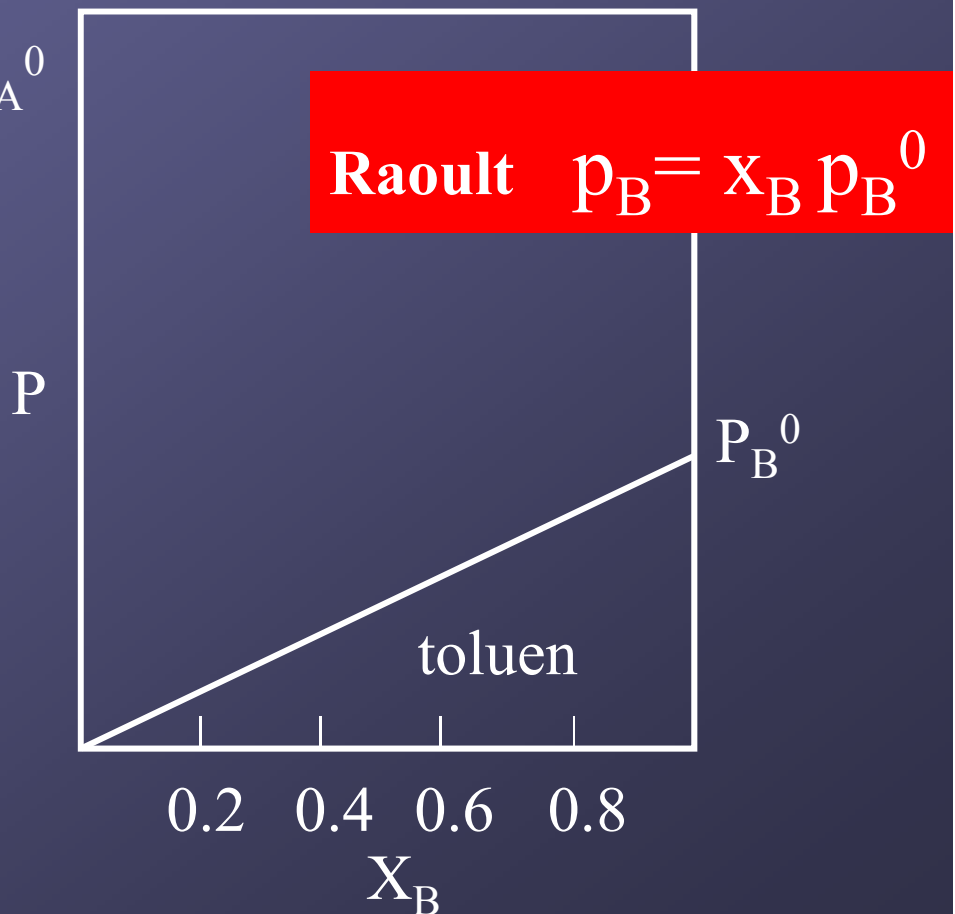
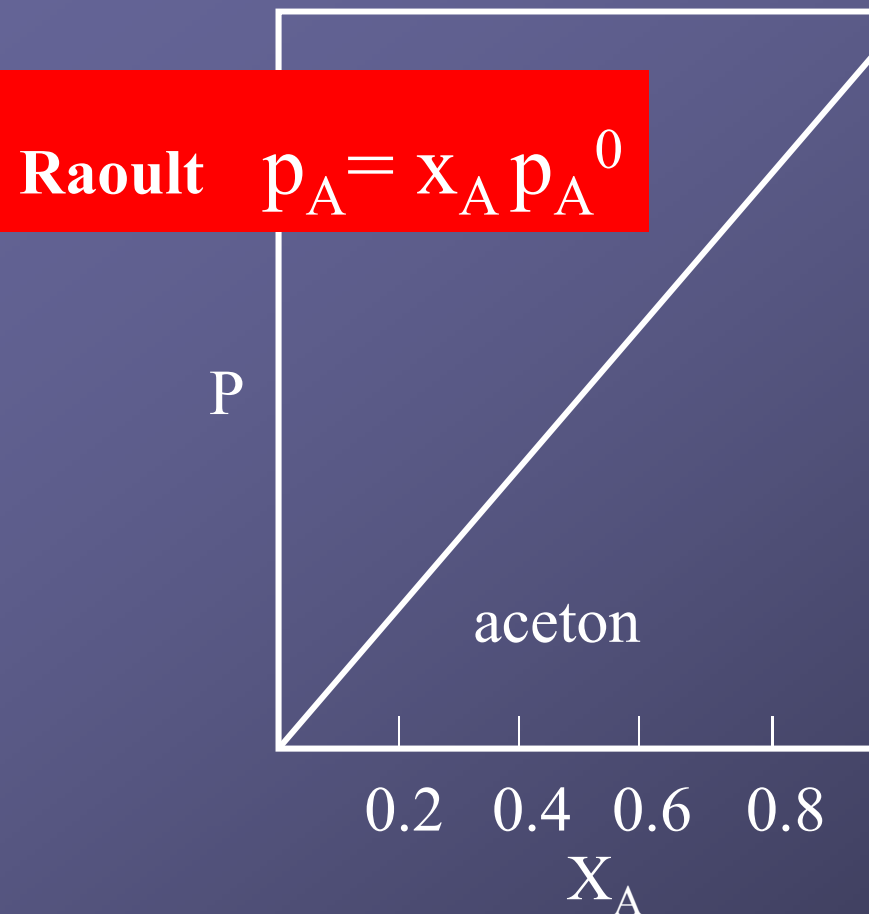
$$P_{\text{celk}} = P_A + P_B = x_A P_A^\circ + x_B P_B^\circ$$

Snížení tlaku par
= součin tlaku par
čistého rozpouštědla a
molárního zlomku
rozpuštěné látky

Tlak par v závislosti na složení kapalné fáze

Těkavější složka = vyšší tenze par

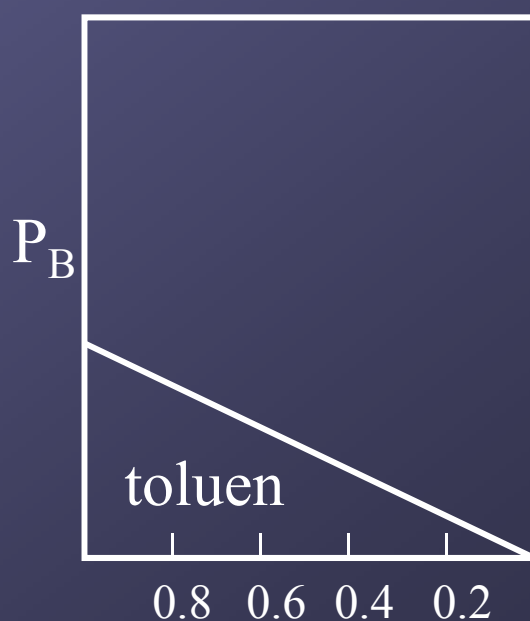
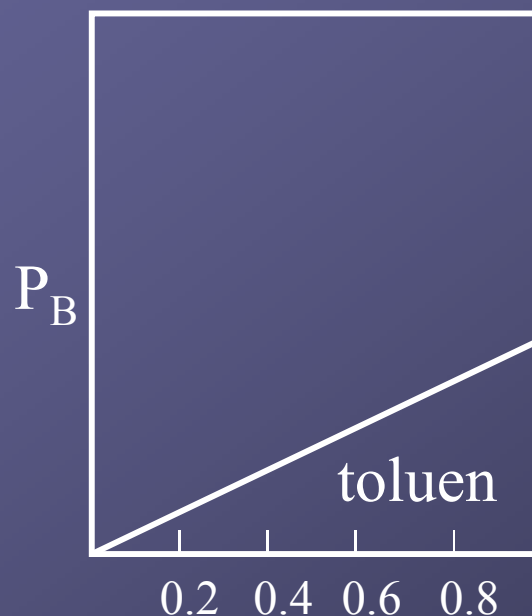
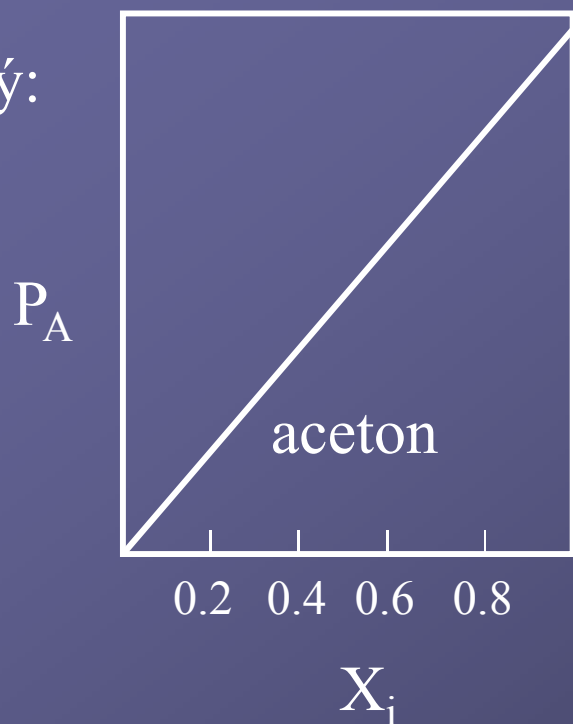
Izotermický: $T = \text{konst.}$



směs dvou kapalin: aceton a toluen

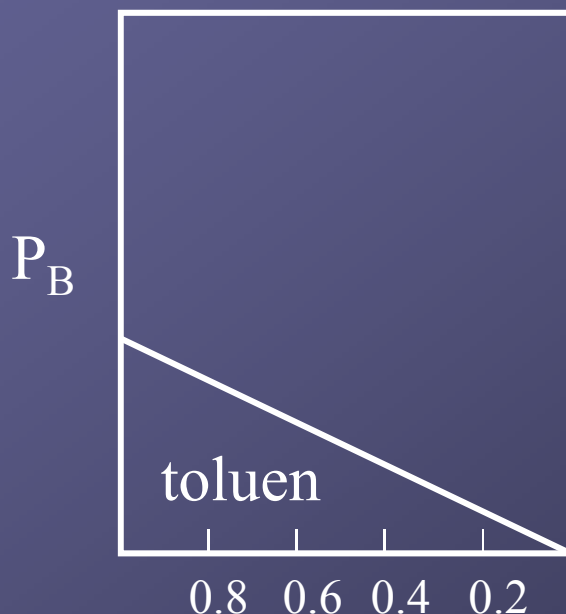
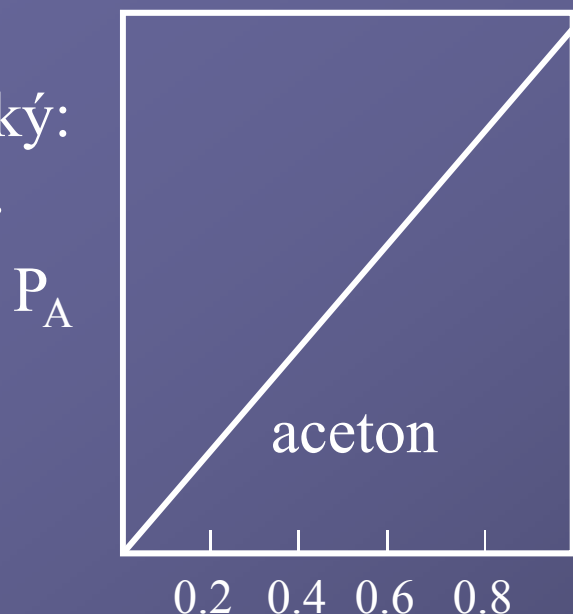
Tlak par v závislosti na složení kapalné fáze

Izotermický:
 $T = \text{konst.}$

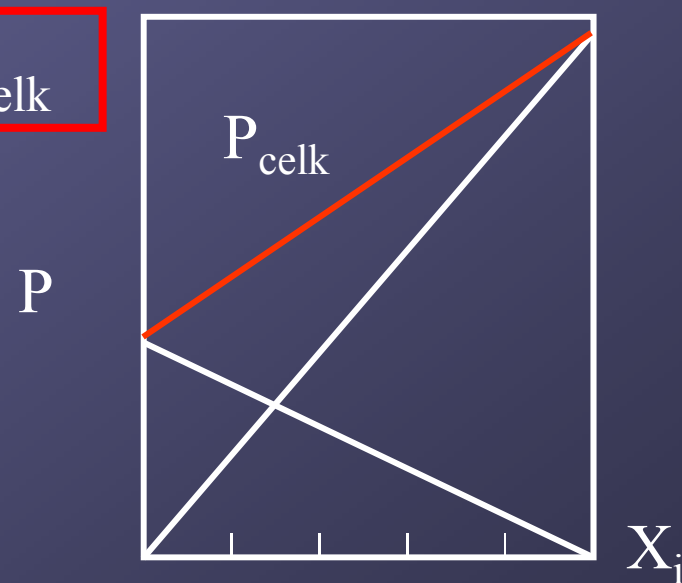


$$X_{\text{aceton}} + X_{\text{toluen}} = 1$$

Izotermický:
 $T = \text{konst.}$



$$P_{\text{aceton}} + P_{\text{toluen}} = P_{\text{celk}}$$



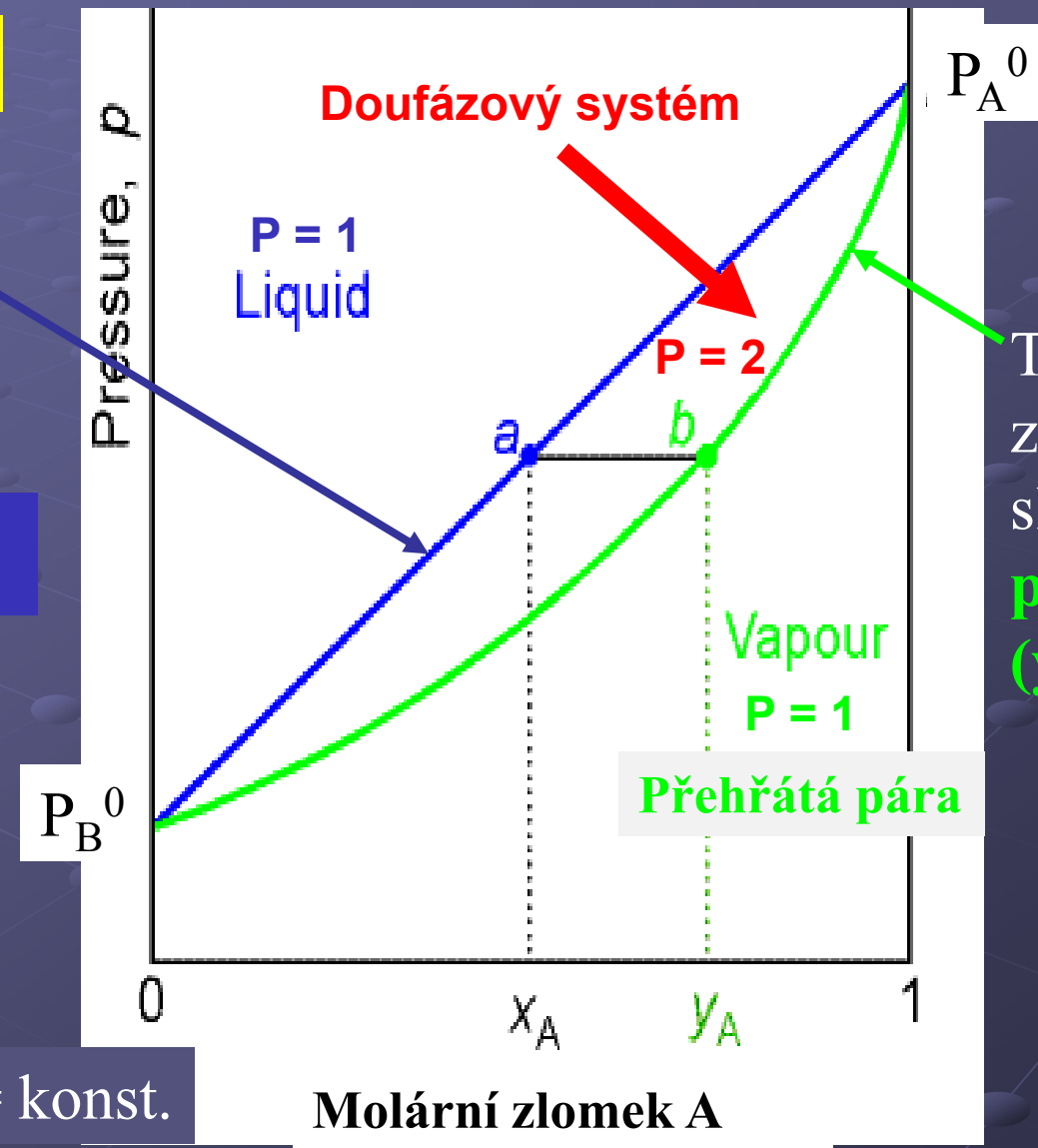
Fázový diagram pro dvousložkovou soustavu

$$P + V = C + 2$$

Tlak par v závislosti na složení **kapalné fáze** (x_A)

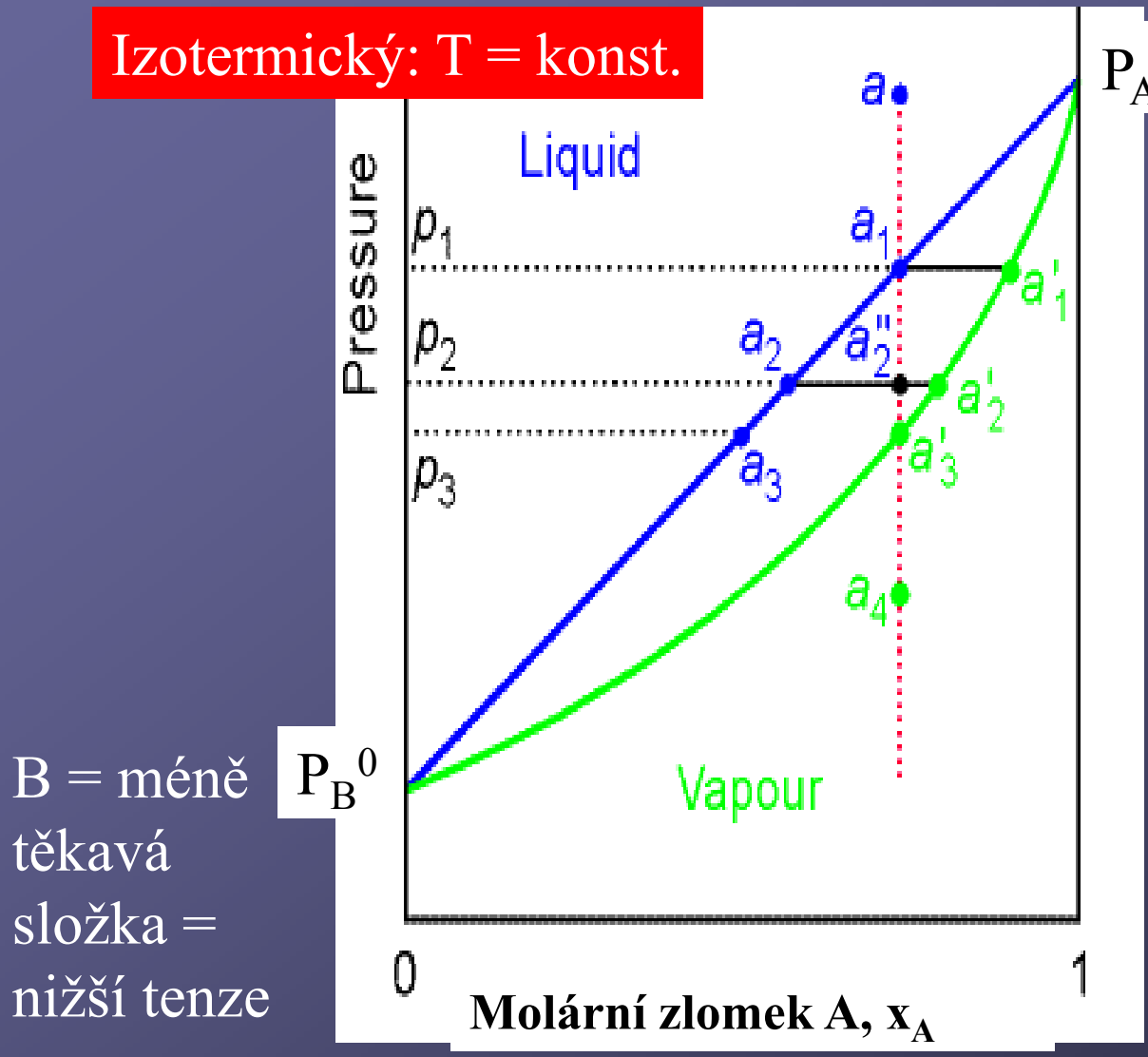
$$P_{\text{aceton}} + P_{\text{toluen}} = P_{\text{celk}}$$

Izotermický: $T = \text{konst.}$



Destilace za konstantní T snižováním tlaku

Izotermický: $T = \text{konst.}$



B = méně těkavá složka = nižší tenze par

A = těkavější složka = vyšší tenze par

Destilace:
 $a \rightarrow a_1 \rightarrow a''_2 \rightarrow a'_3$

Pára je obohacena těkavější složkou a'_1

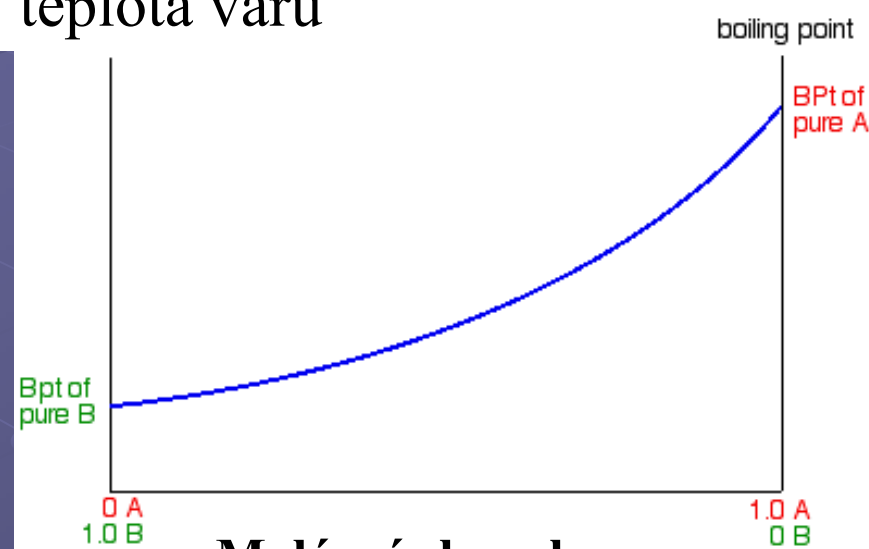
V kapalné fázi ubývá těkavější složka a_2

Fázové diagramy

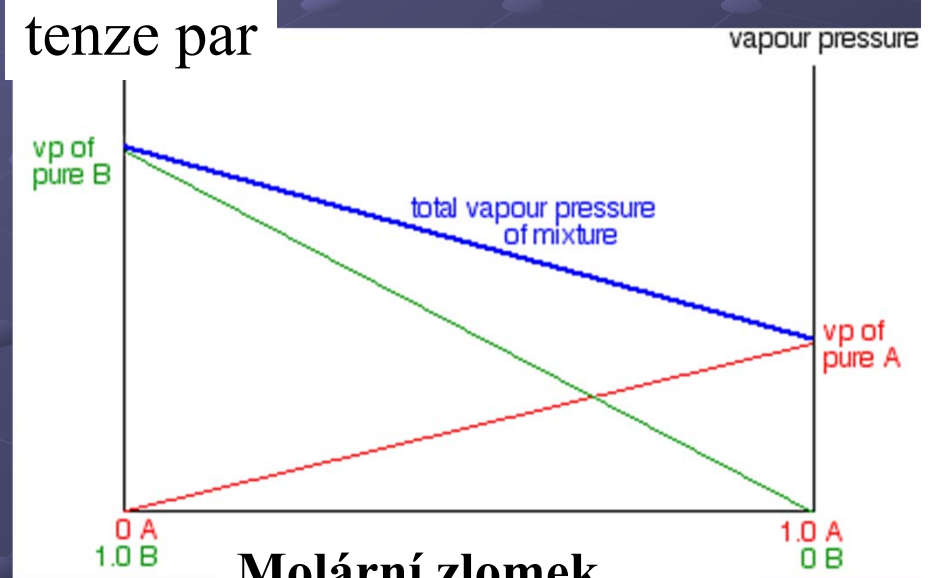
Izobarický: $p = \text{konst.}$

Izotermický: $T = \text{konst.}$

teplota varu

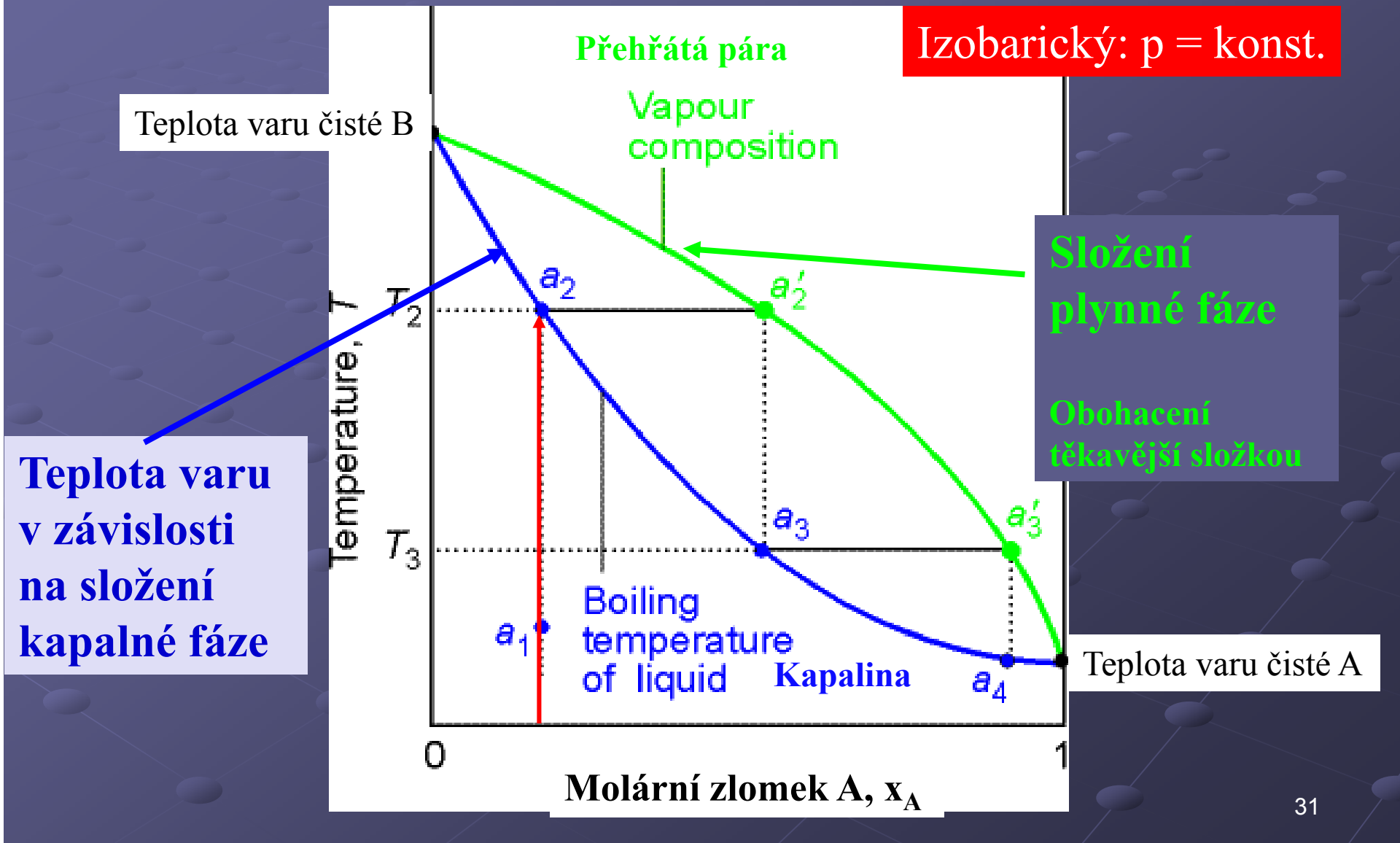


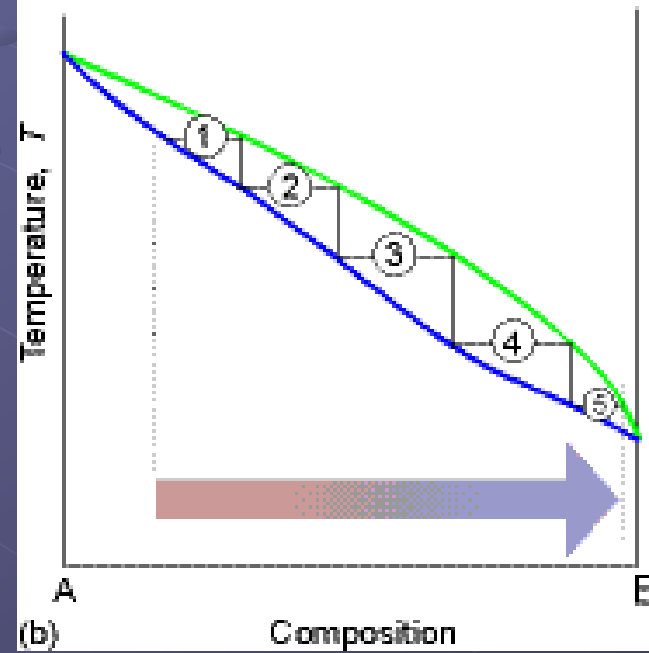
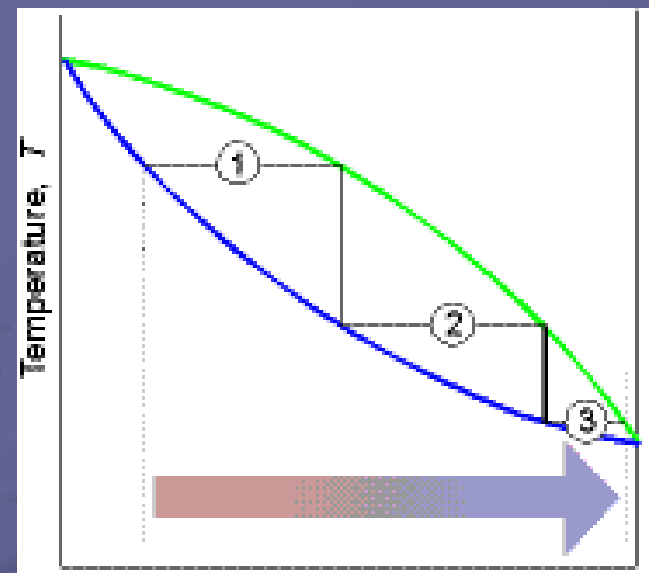
tenze par



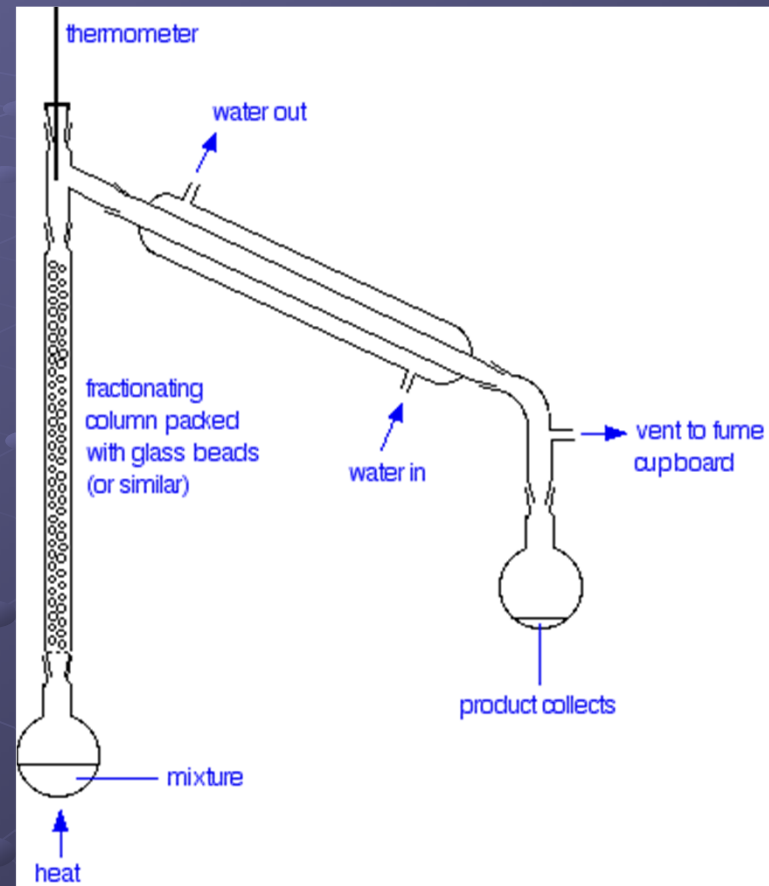
Těkavější složka = vyšší tenze par = nižší teplota varu

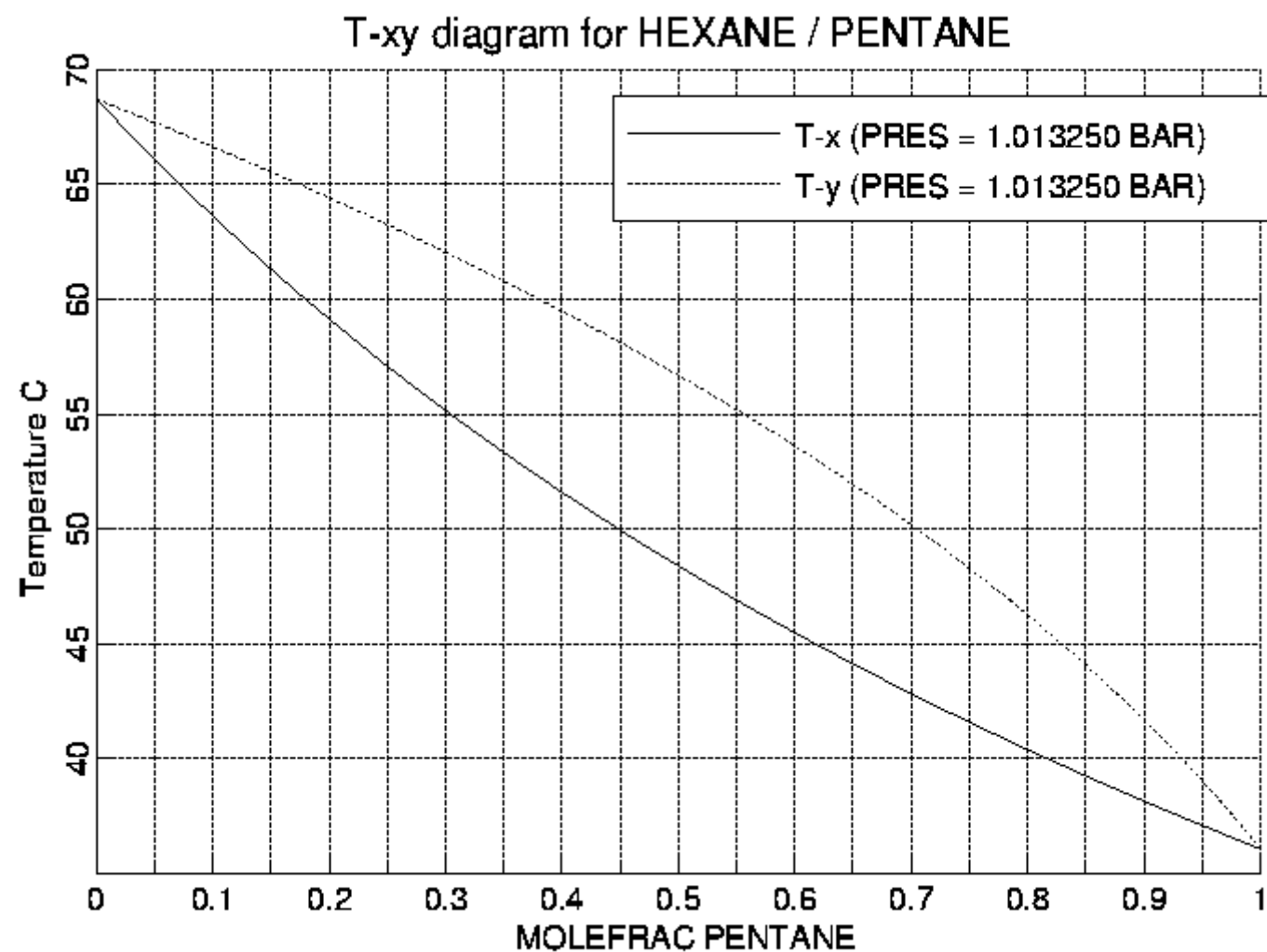
Destilace za konstantního p zvyšováním T

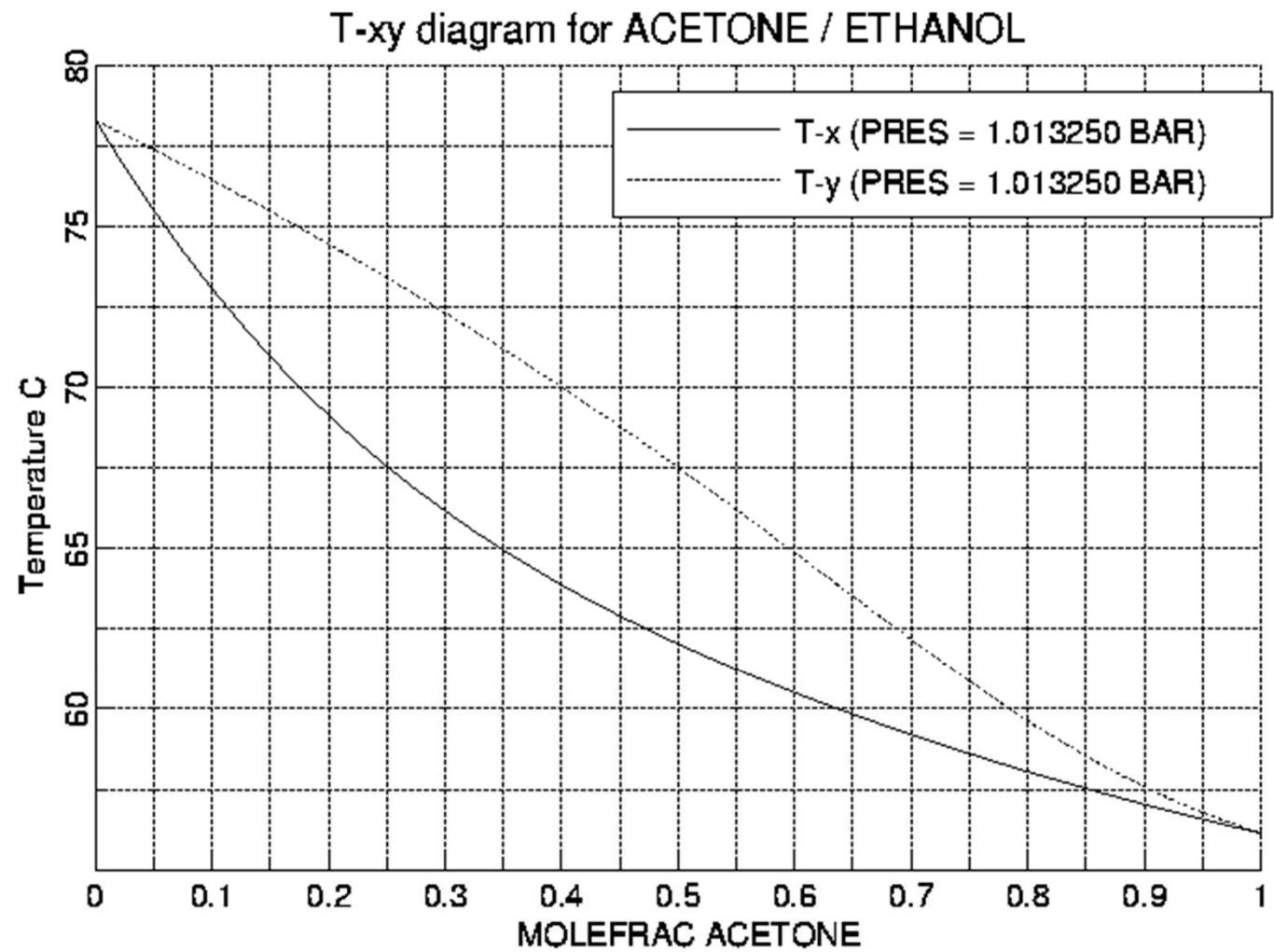




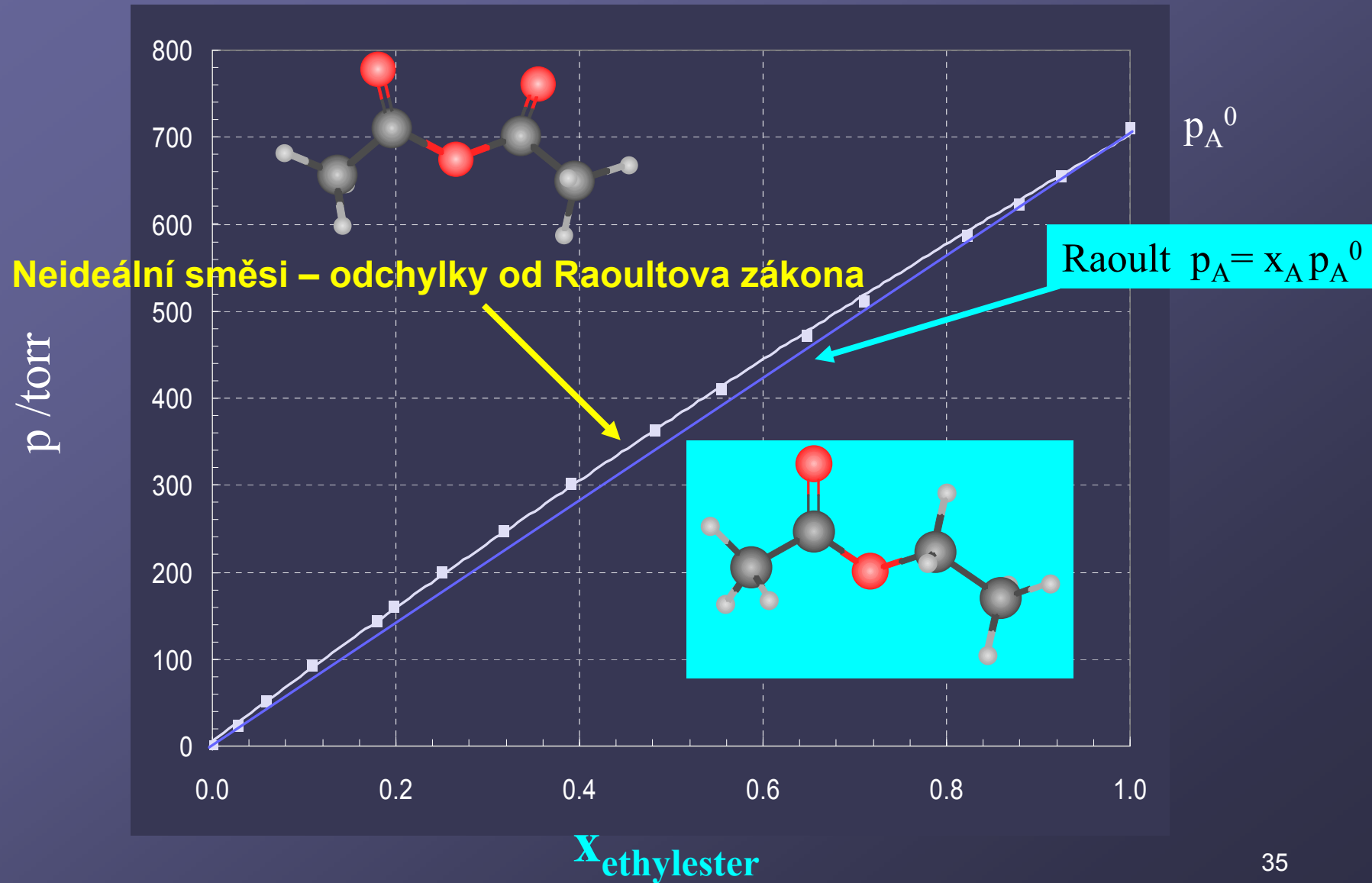
Frakční destilace



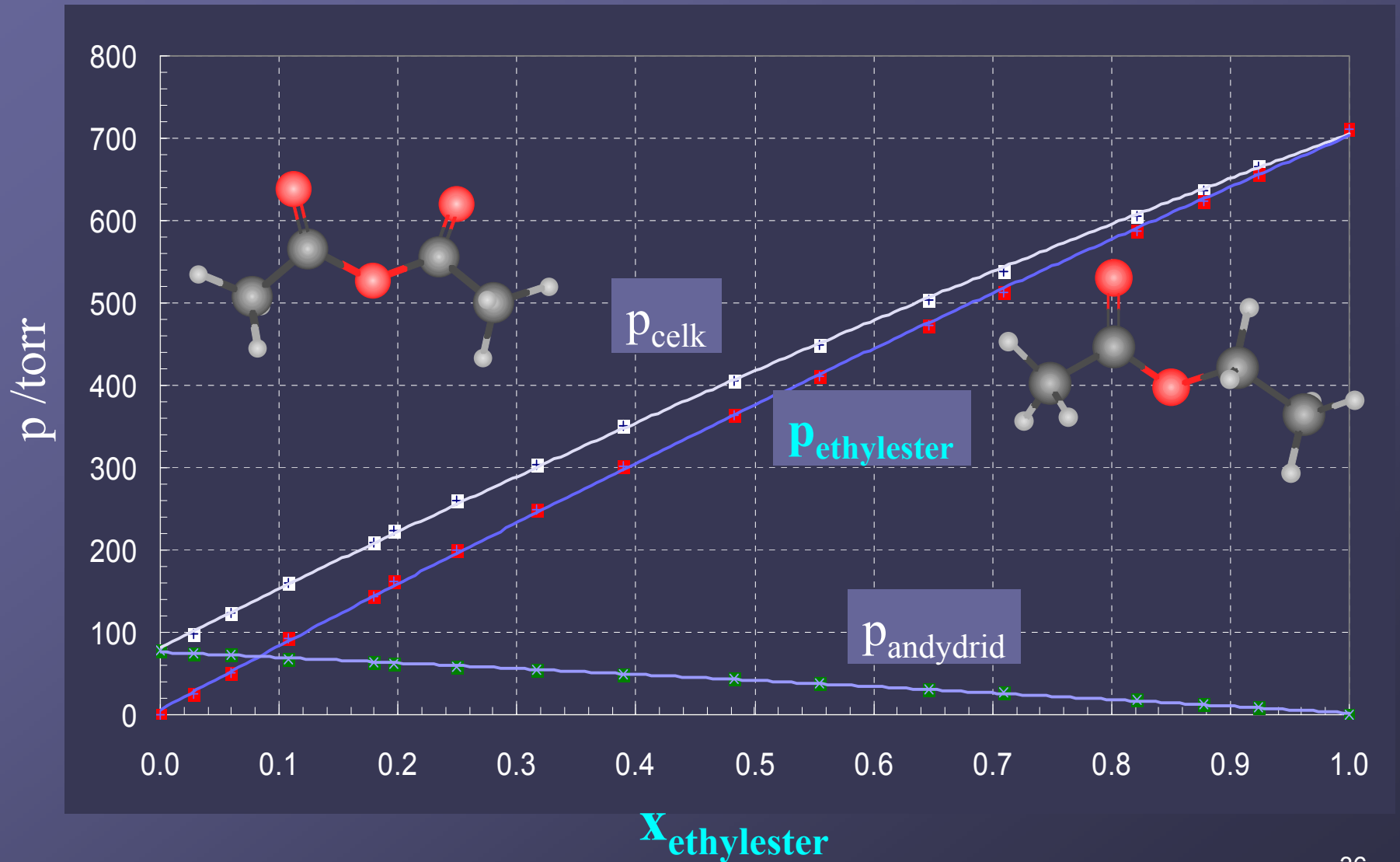




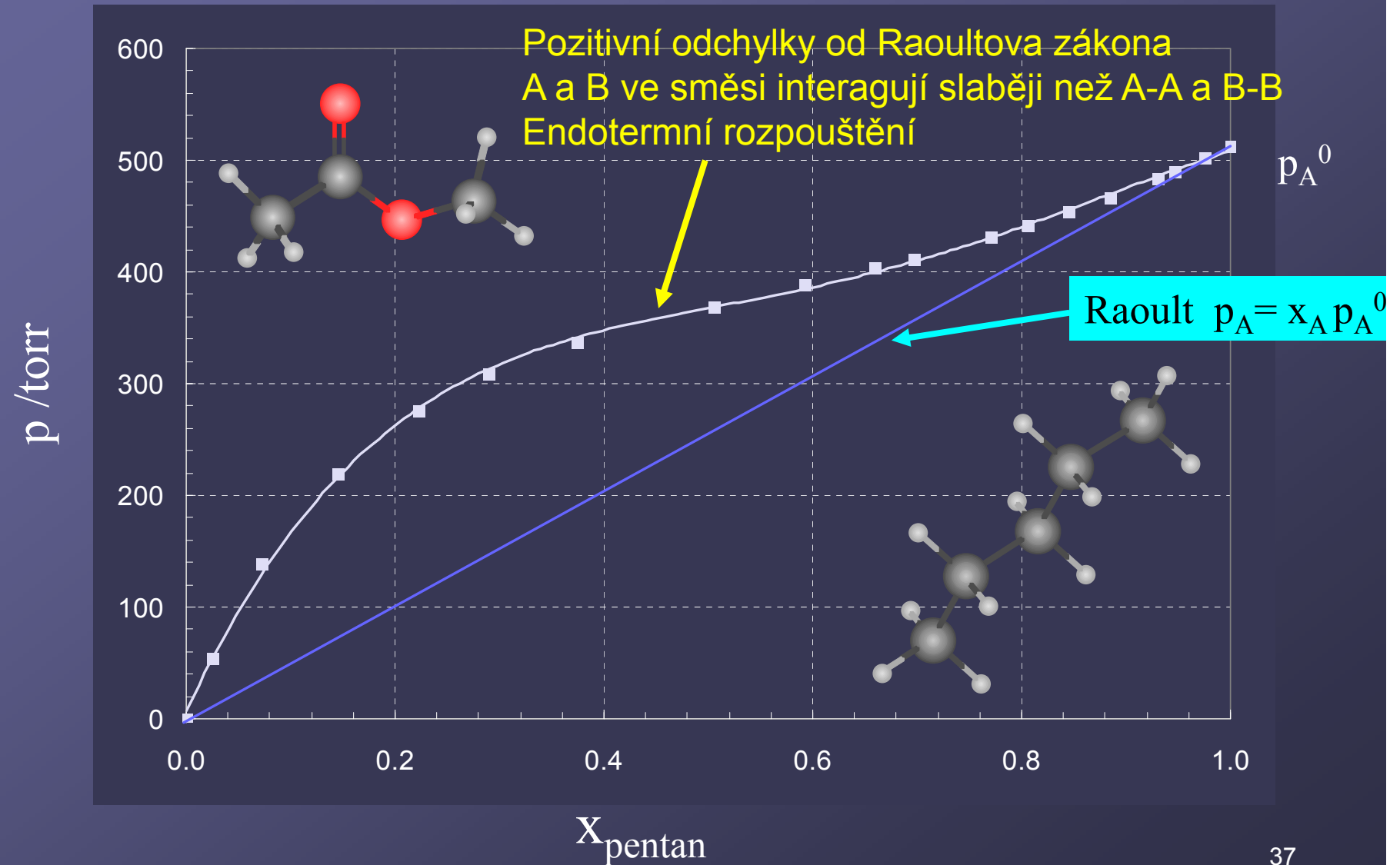
Tenze par ethylesteru kys. octové v anhydridu kys. octové



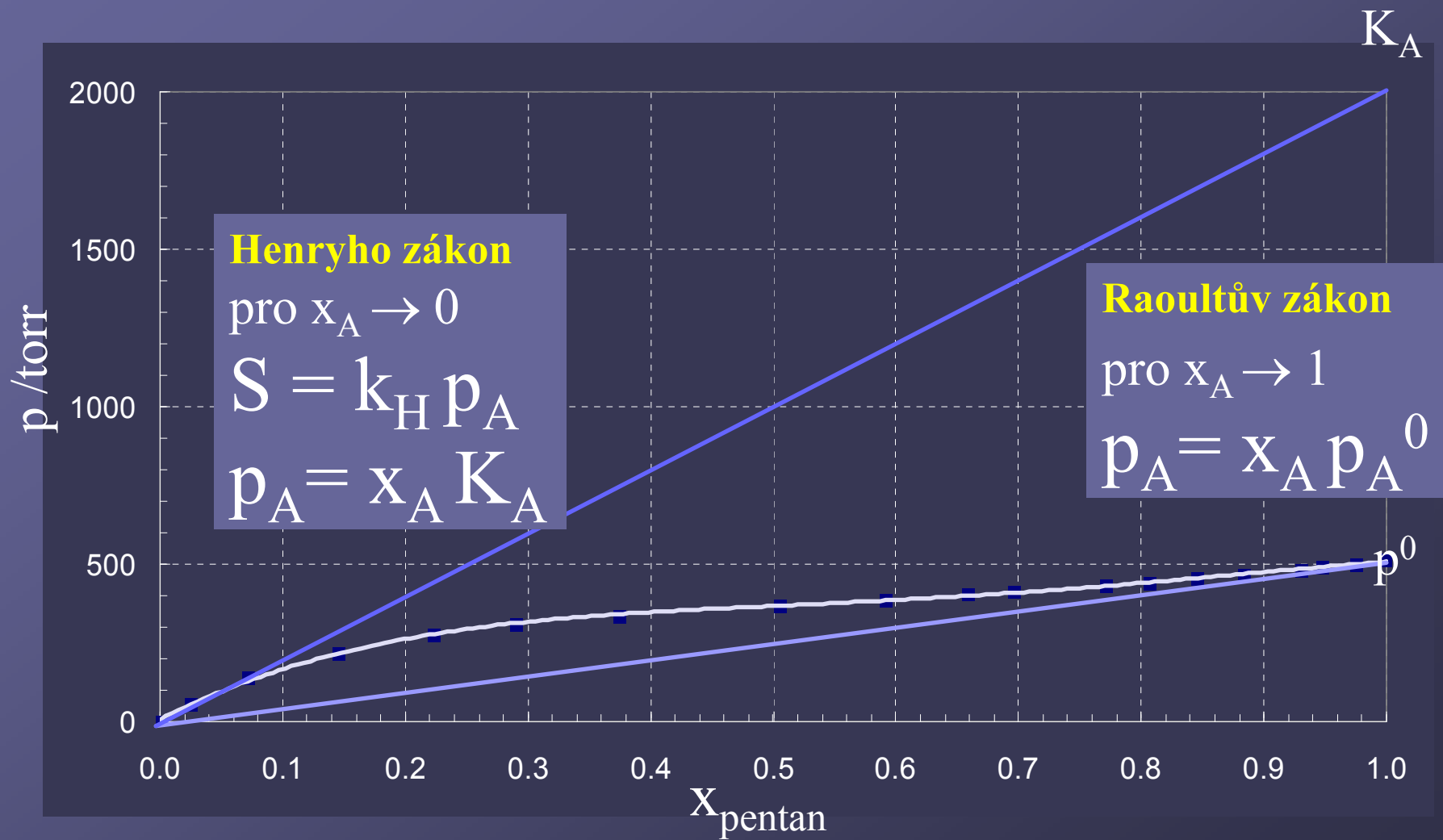
Celkový tlak ethylesteru a anhydridu kys. octové



n-Pentan v methylesteru kys. octové



Raoultův a Henryho zákon



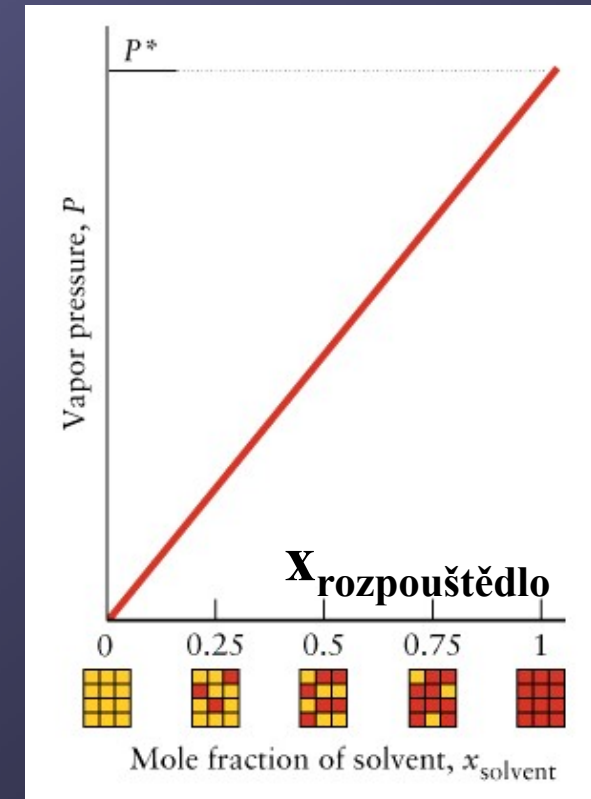
Raoultův zákon

Tlak nasycené páry složky nad roztokem se mění lineárně s molárním zlomkem látky v roztoku.

$$p_A = x_A p_A^0$$

Raoultův zákon platí nejpřesněji pro $x_A \rightarrow 1$

Platí pro chemicky podobné látky



Henryho zákon

Molární rozpustnost je úměrná parciálnímu tlaku složky nad roztokem. Tlak páry složky je úměrný molárnímu zlomku v roztoku.

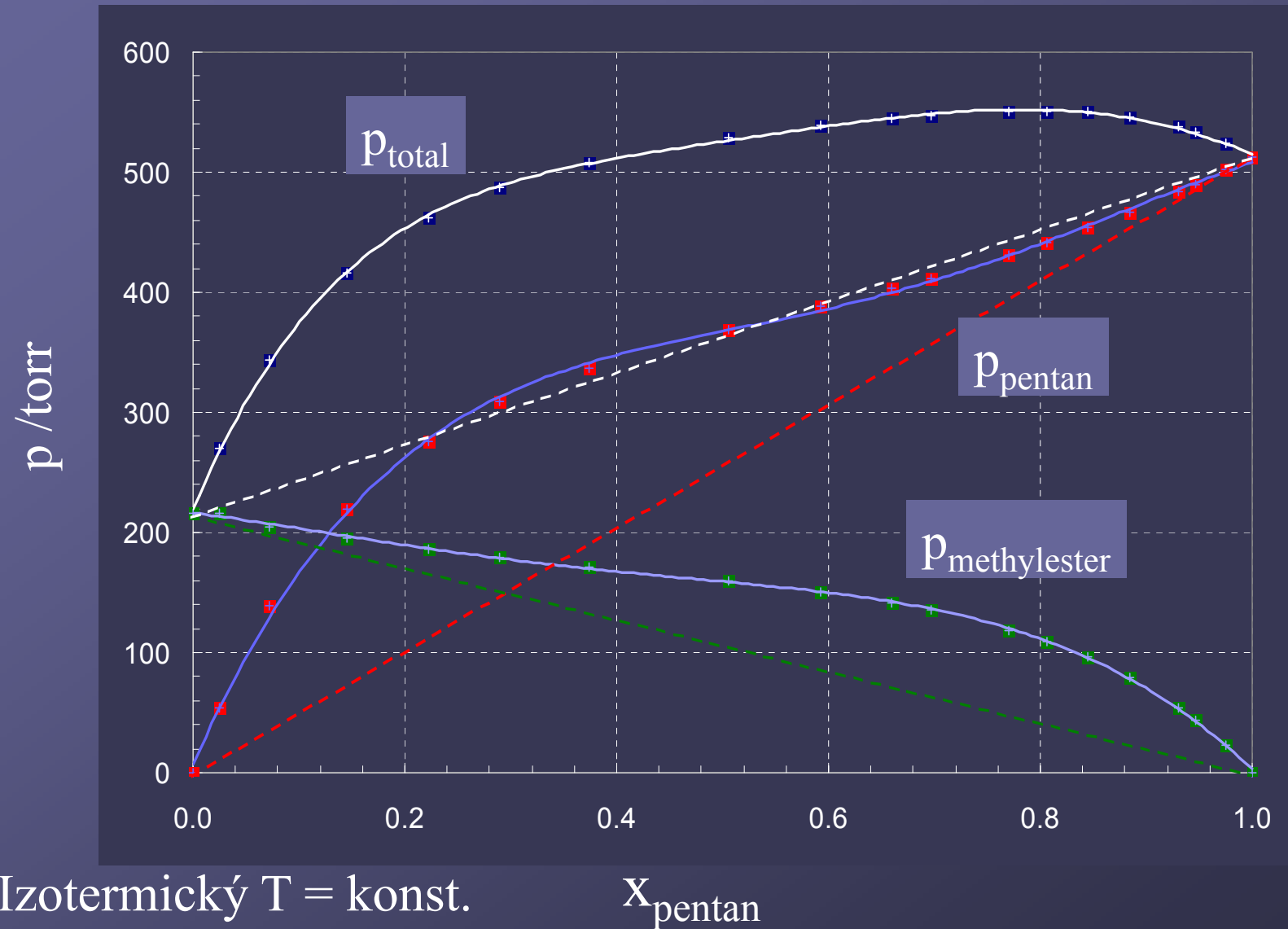
$$S = k_H p_A$$

$$p_A = x_A K_A$$

Henryho zákon platí nejpřesněji pro $x_A \rightarrow 0$

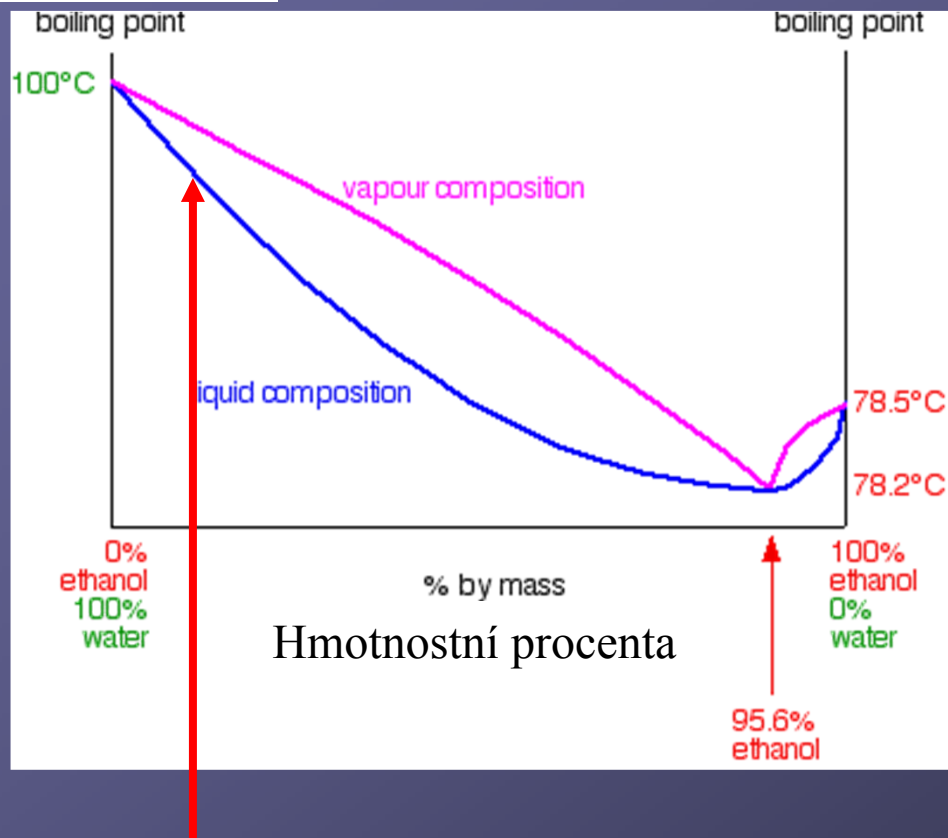
K_A hypotetický tlak par čisté A, kdyby se chovala v čistém stavu stejně jako v nekonečně zředěném roztoku.

n-Pentan a methylester kys. octové



Azeotropická směs s min. T_v (max. p)

teplota varu



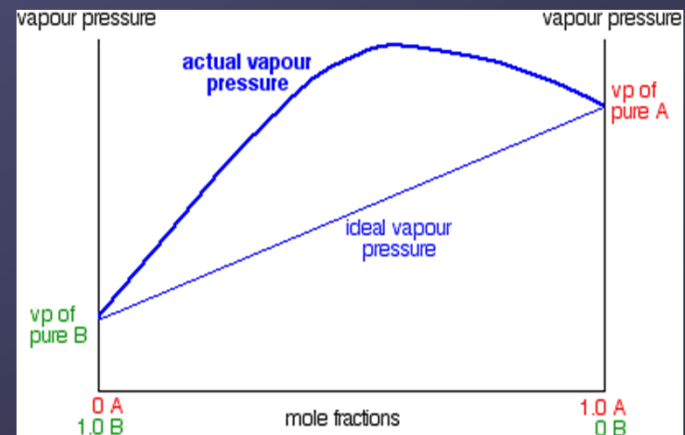
Frakční destilací lze získat ethanol max. 95.6% v destilátu a čistou vodu v destilačním zbytku

Ethanol – voda

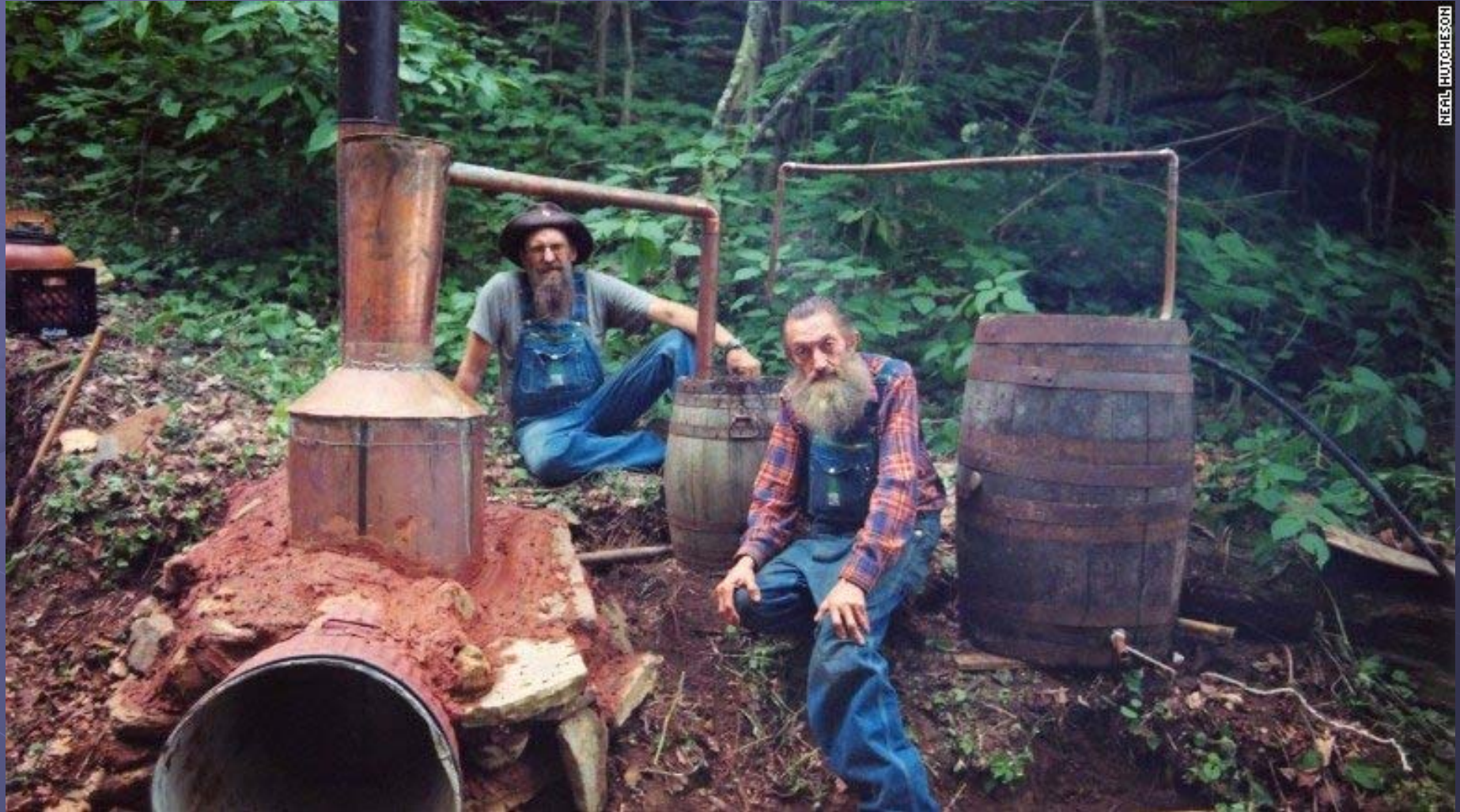
$$w = 95.6\% \quad x = 0.895$$

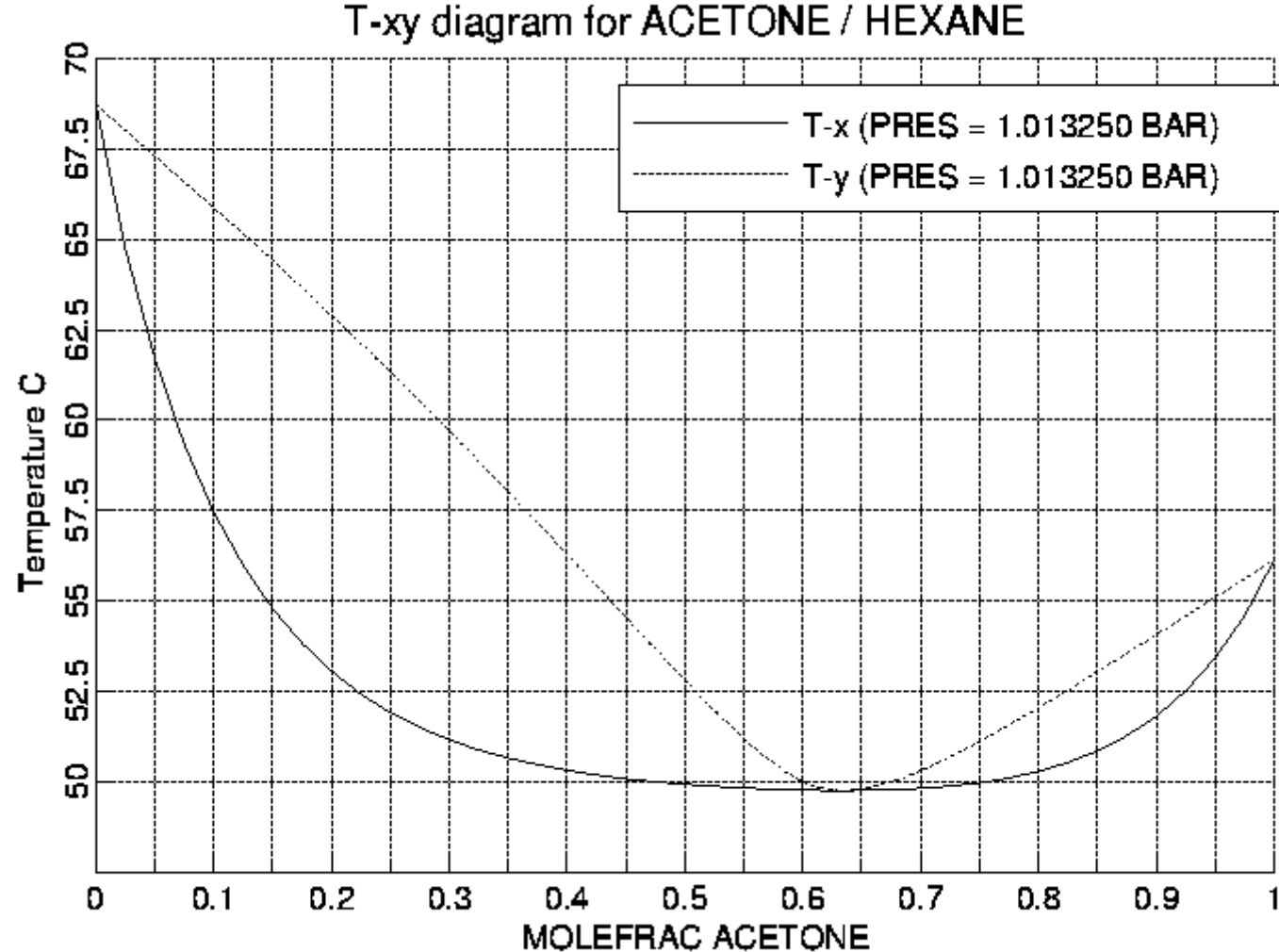
Pozitivní odchylky od Raoultova zákona, A a B ve směsi interagují slaběji než A-A a B-B, směs se vypařuje snadněji než čisté látky

Endotermní rozpouštění

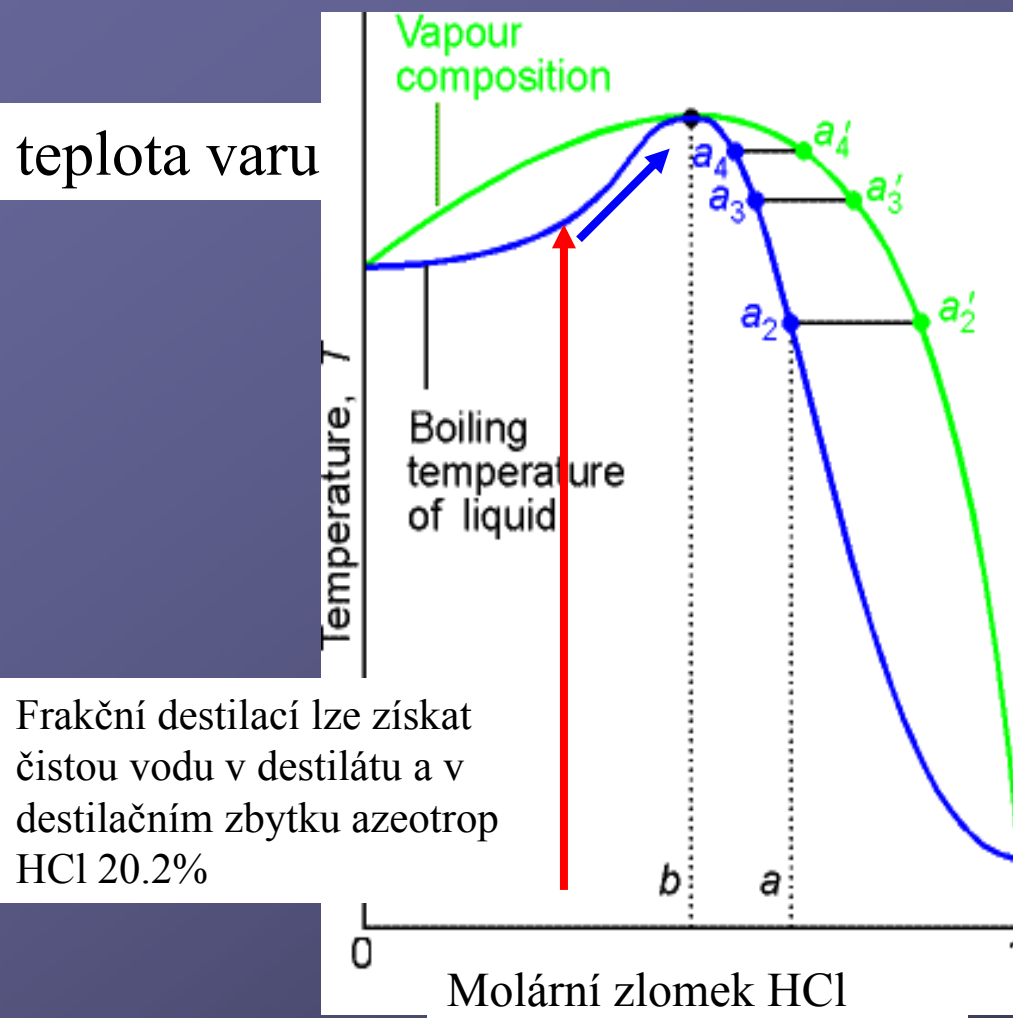


Frakční destilace



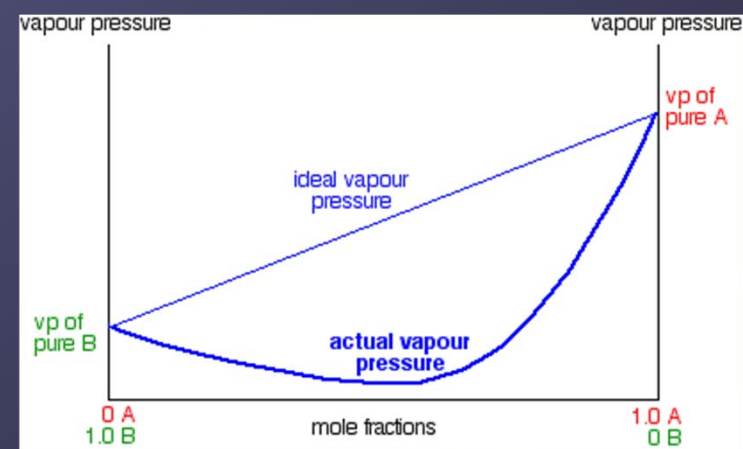


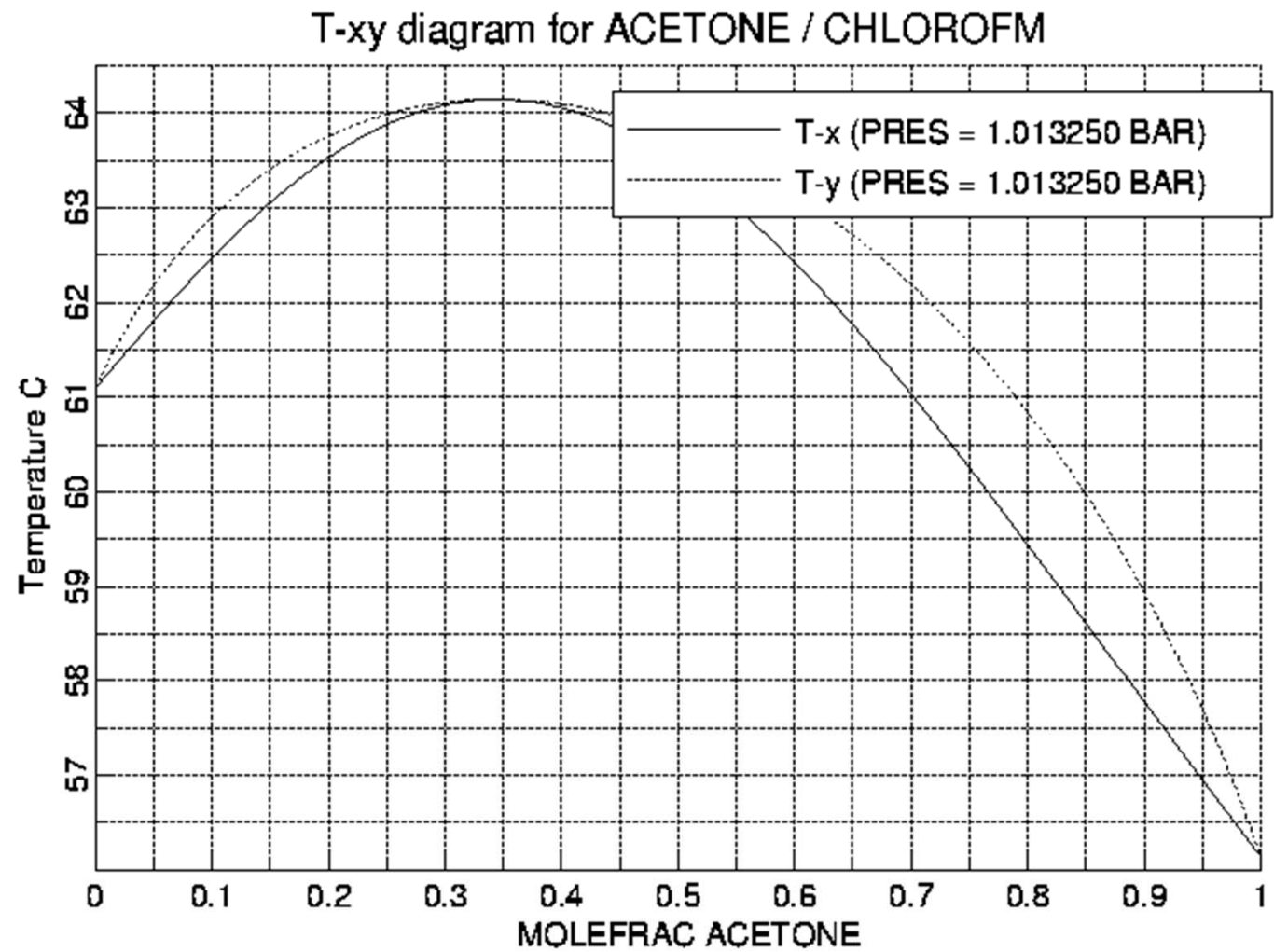
Azeotropická směs s max. T_v (min. p)



HCl – voda
108.584 °C
20.222 % HCl

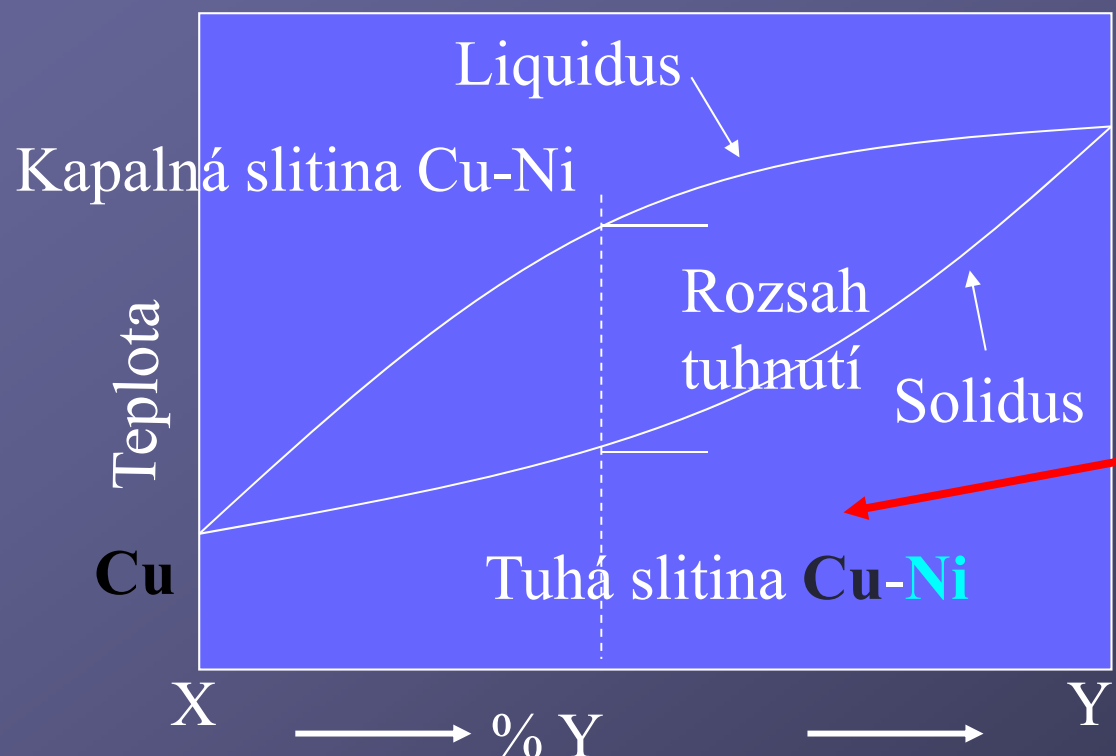
Negativní odchylky od Raoultova zákona, A a B ve směsi interagují silněji než A-A a B-B
Exotermní rozpouštění





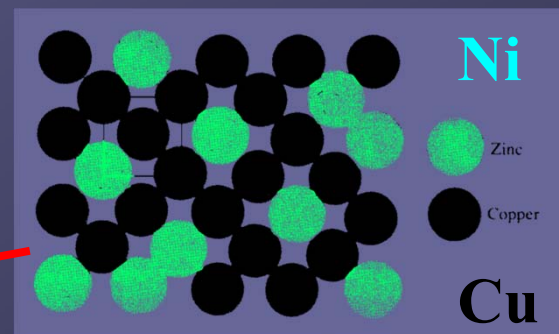
Dvě složky dokonale mísitelné v (l) i (s)

Izobarický: $p = \text{konst.}$



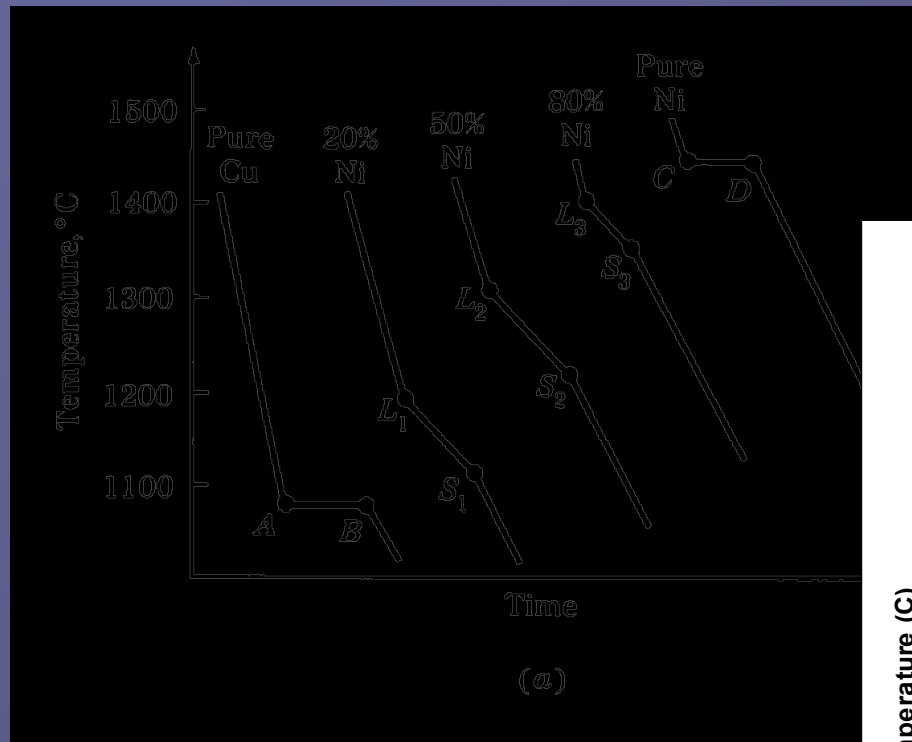
Substituční slitina Cu-Ni
Pevný roztok

Ni – teplota tání

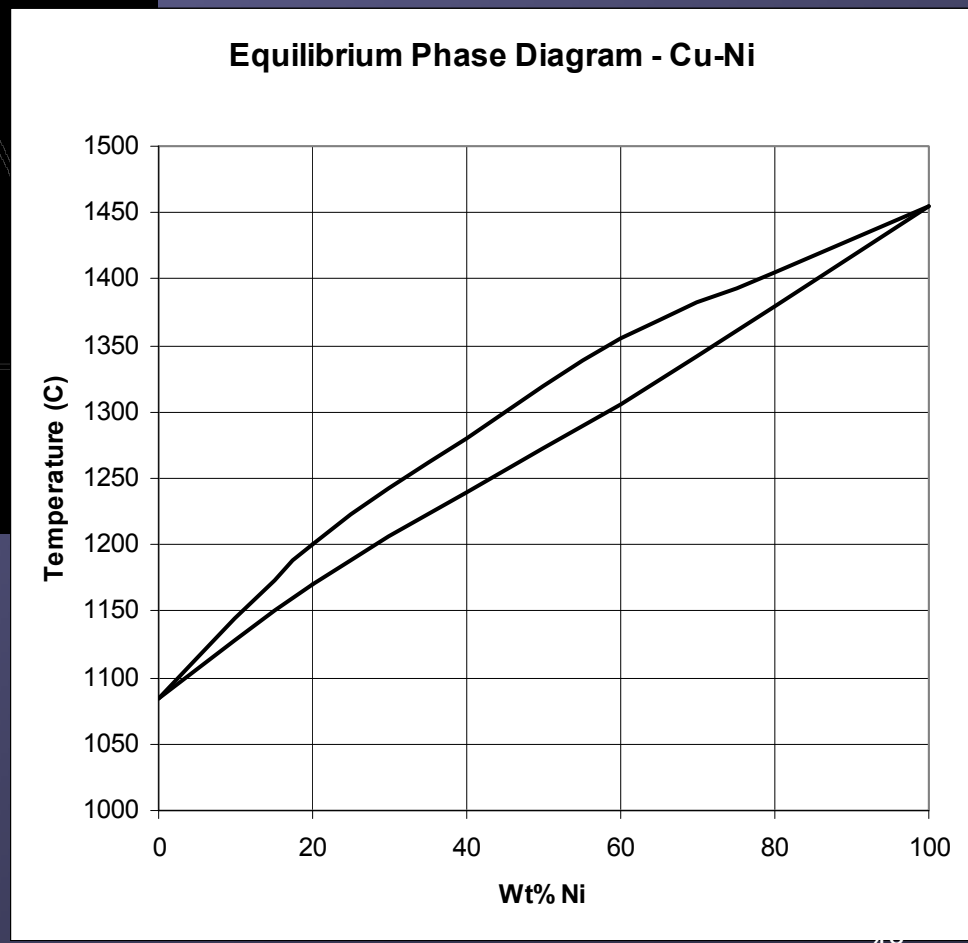


Poloměry $\pm 15\%$
Podobné elektronegativity
Podobné mocenství
Stejná krystalová struktura

Křivky tuhnutí slitiny Cu-Ni

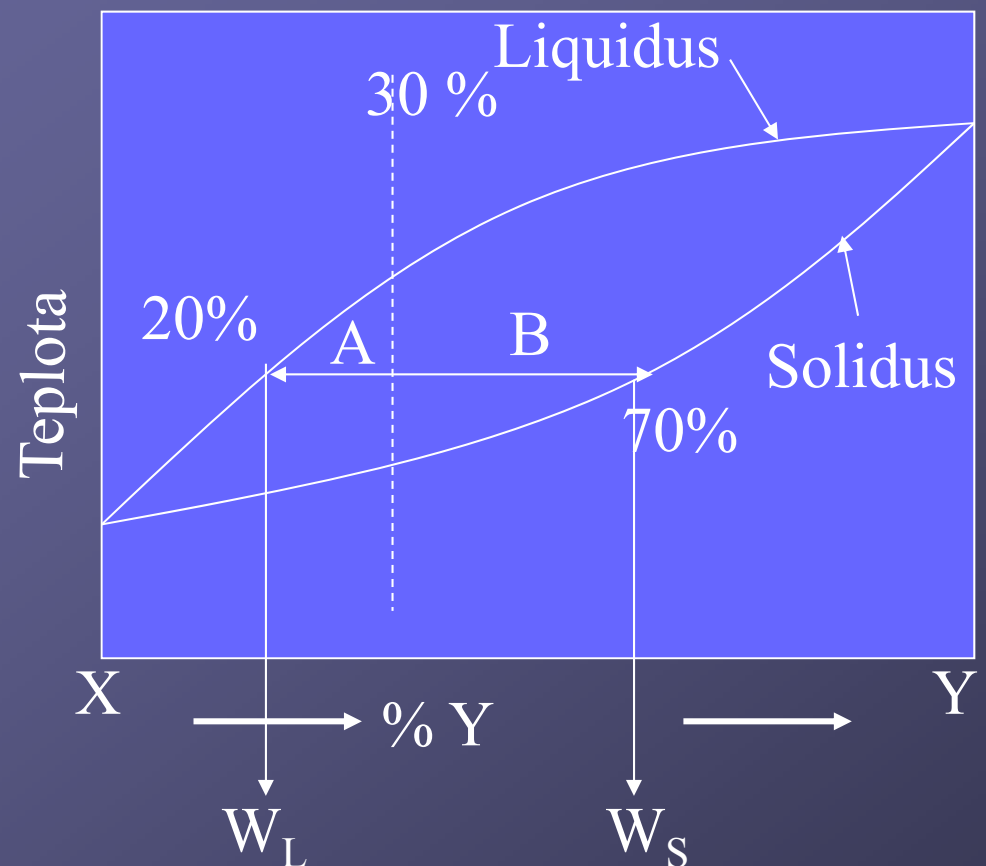


(a)



Pákové pravidlo

Hmotnostní poměr kapalné a pevné fáze



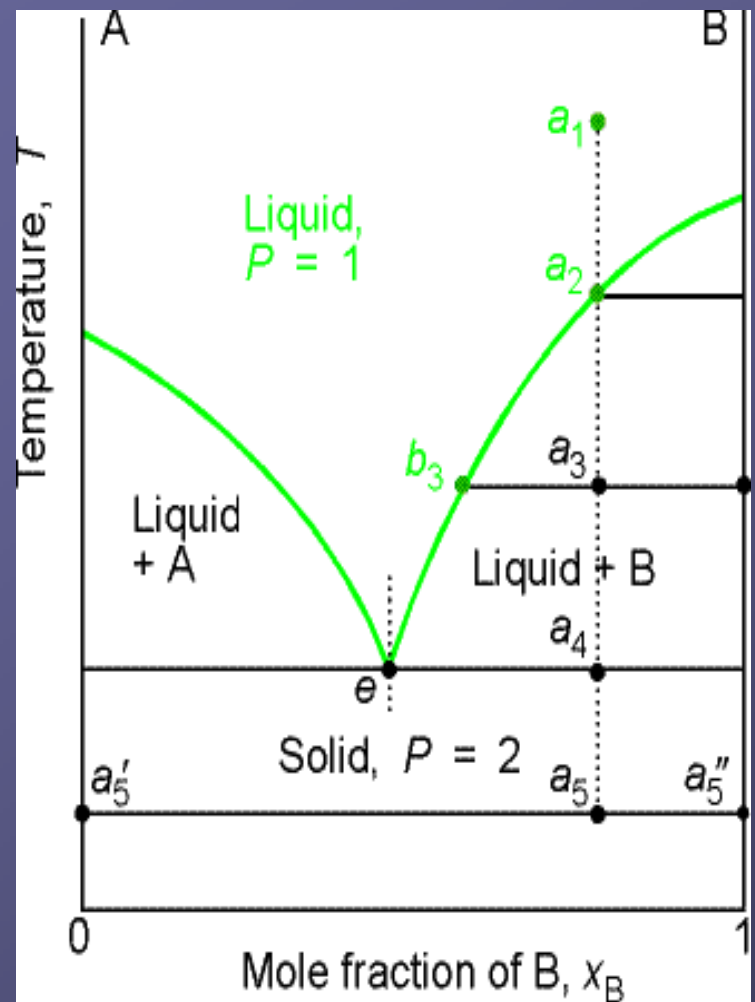
$$W_S = A / (A + B)$$

$$\%W_S = \frac{30 - 20}{70 - 20} * 100$$

$$W_L = B / (A + B)$$

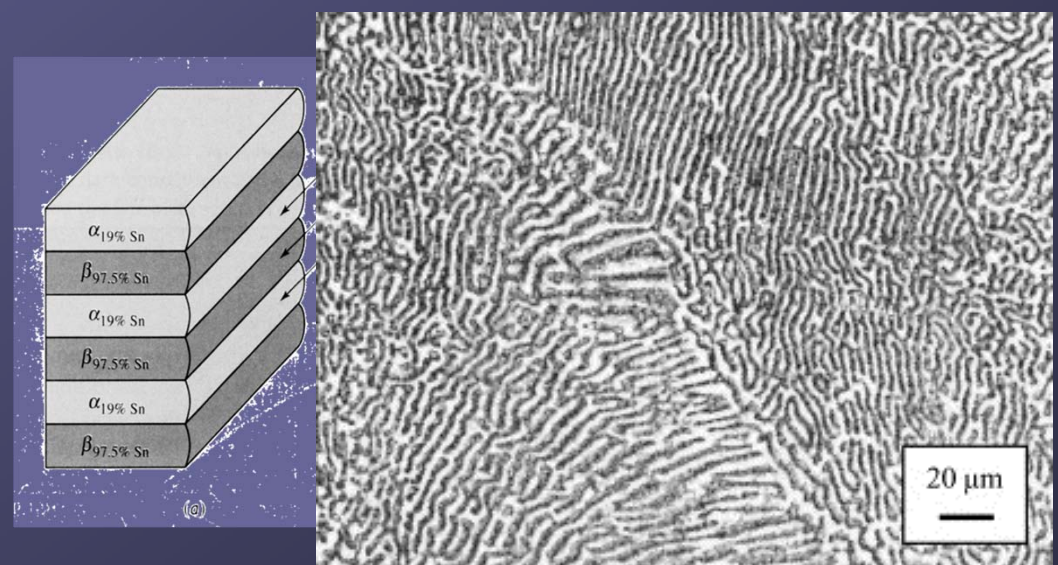
$$\%W_L = \frac{70 - 30}{70 - 20} * 100$$

Dvě složky dokonale mísitelní v (l) a dokonale nemísitelné v (s)



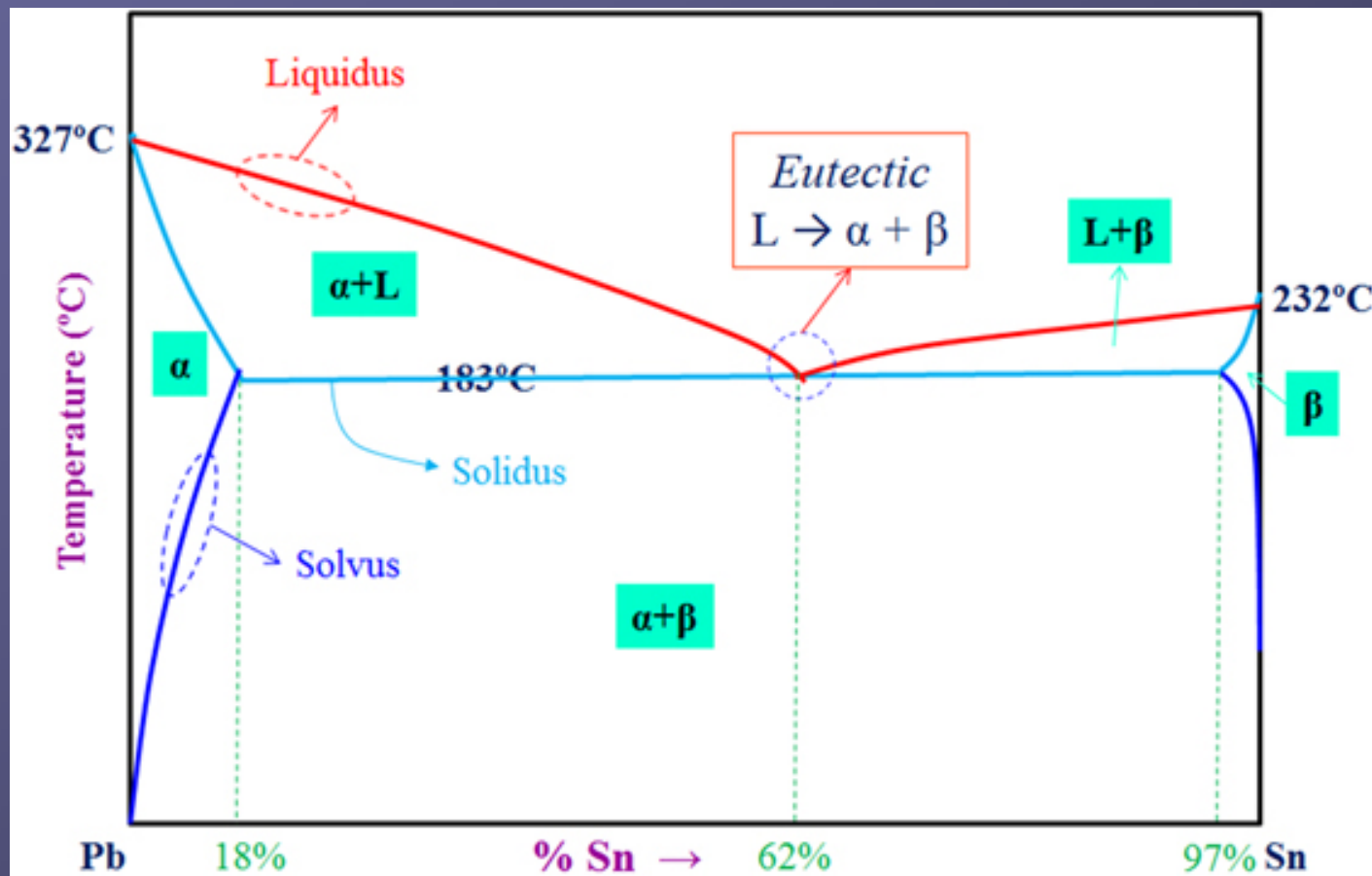
Eutektikum

Při eutektickém složení taje směs při nejnižší teplotě přímo na kapalinu

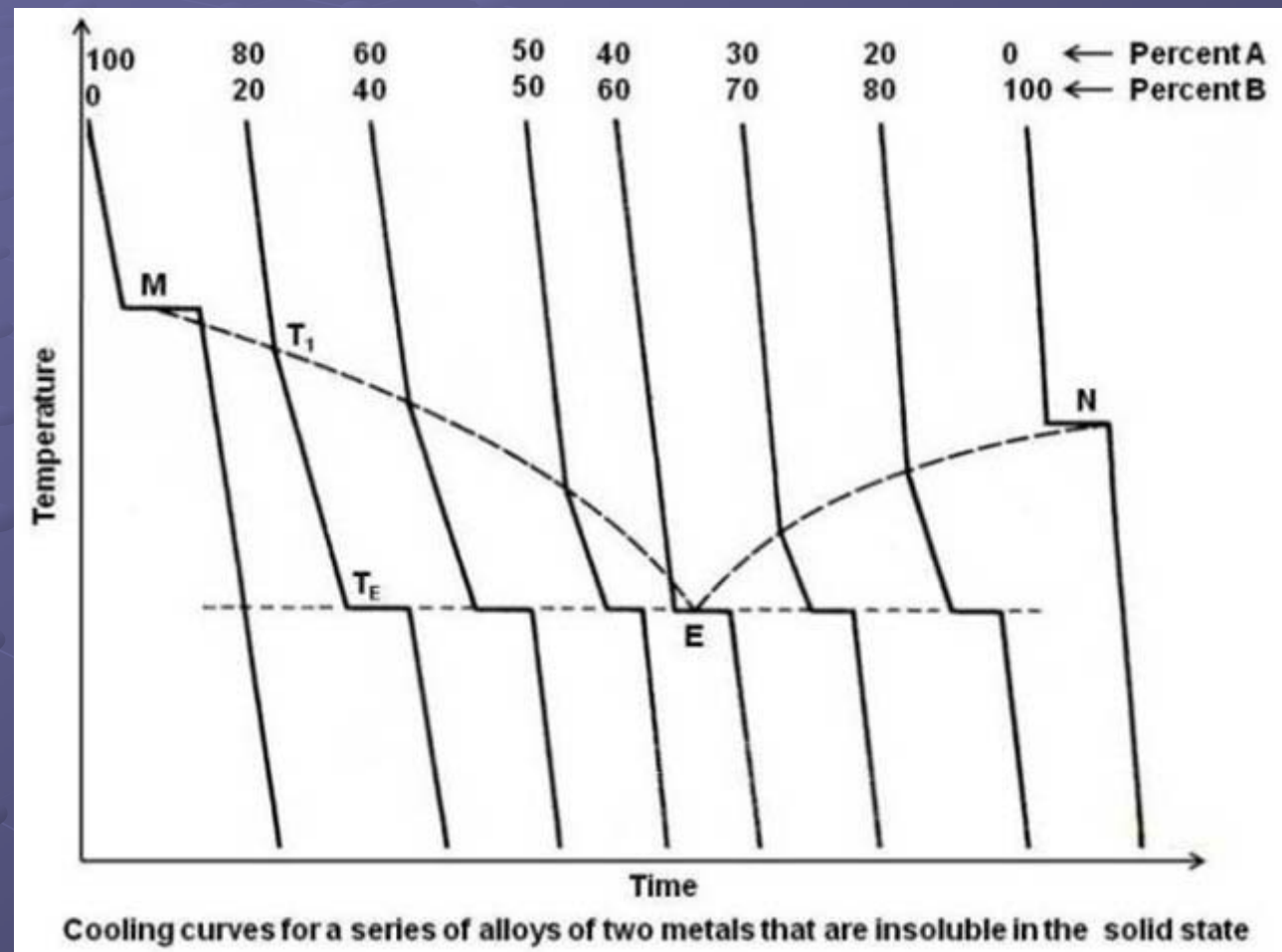


Pb-Sn pájka

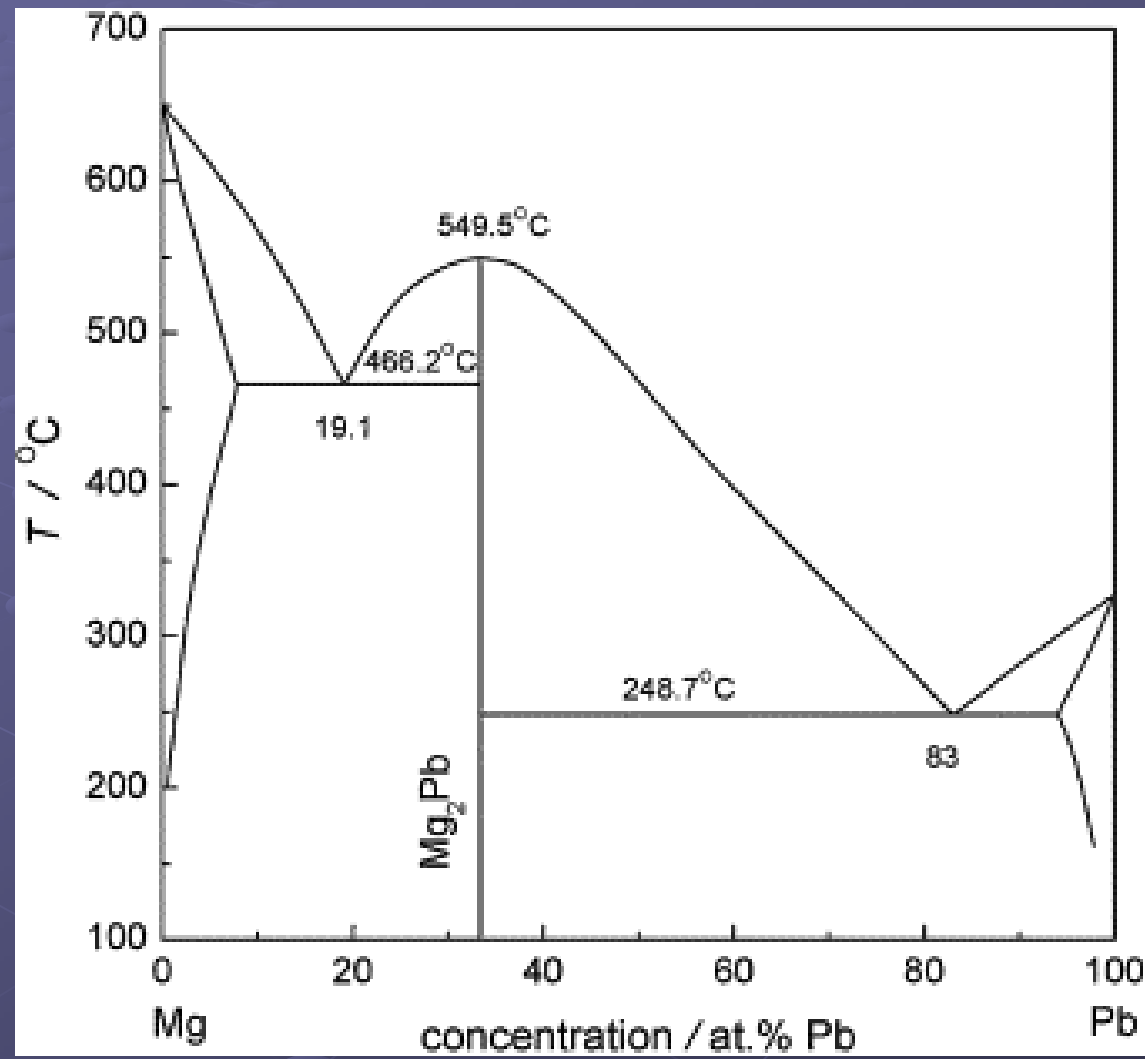
Pájka (Pb 38%) taje při 183 °C
cín 232 °C a olovo 327 °C



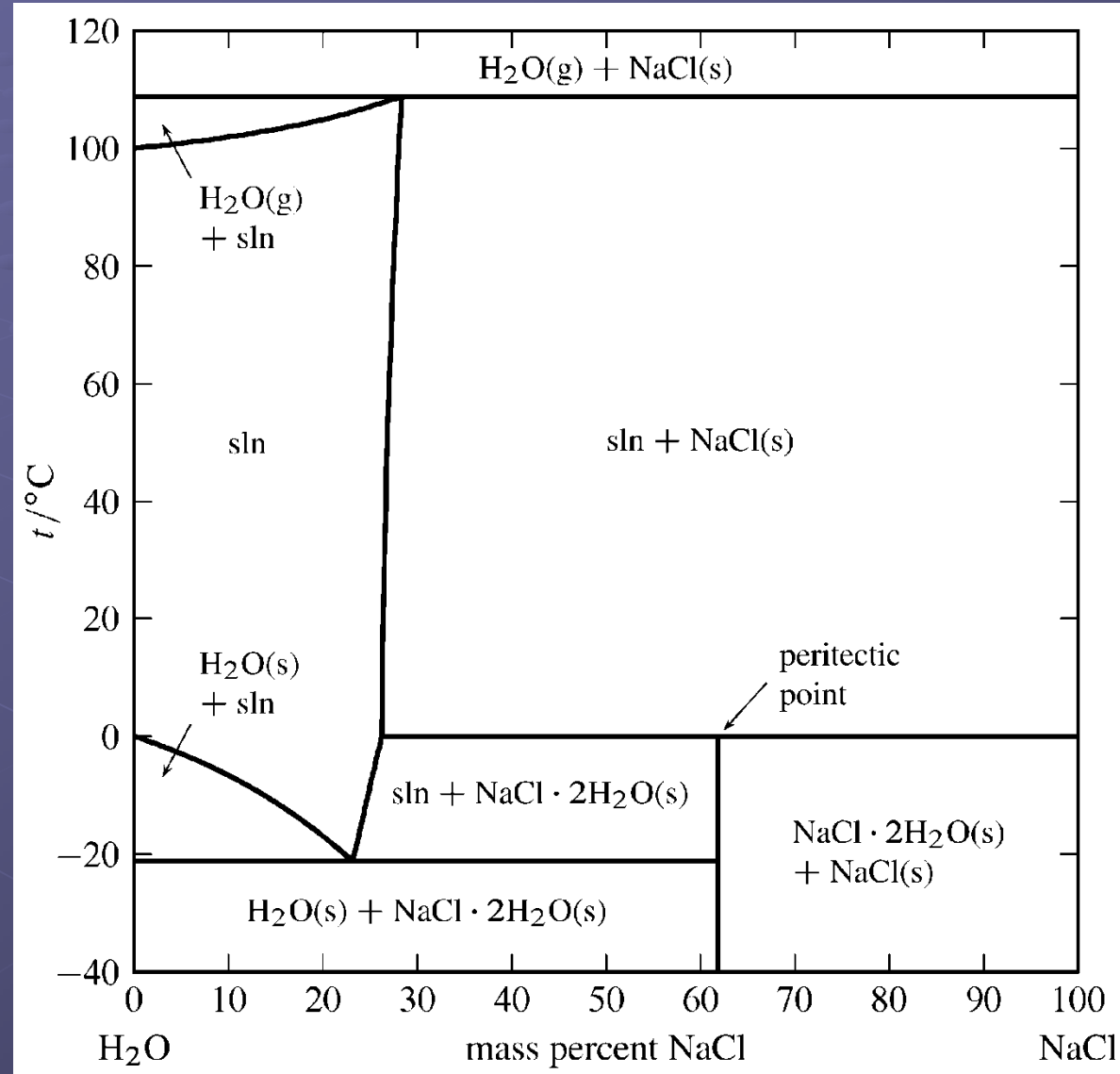
Termická analýza eutektika

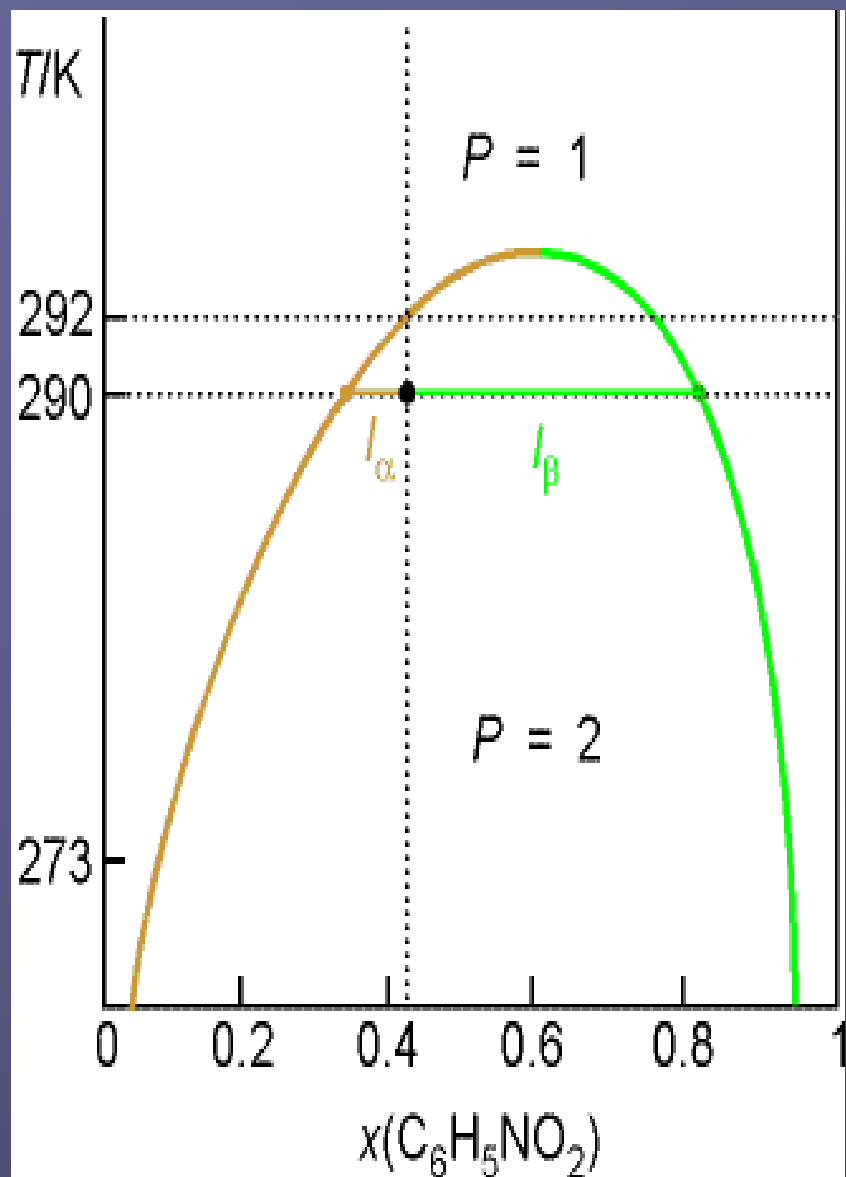


Fázový diagram intermetalické sloučeniny



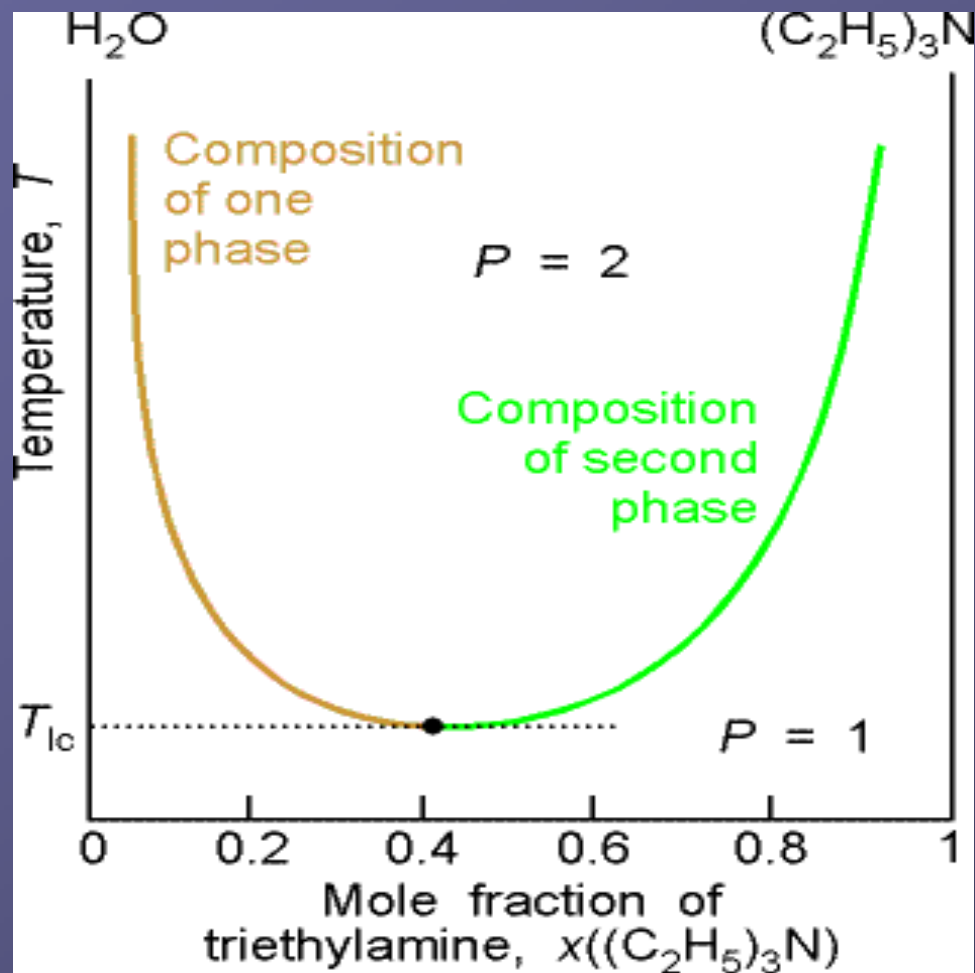
Fázový diagram sůl - voda





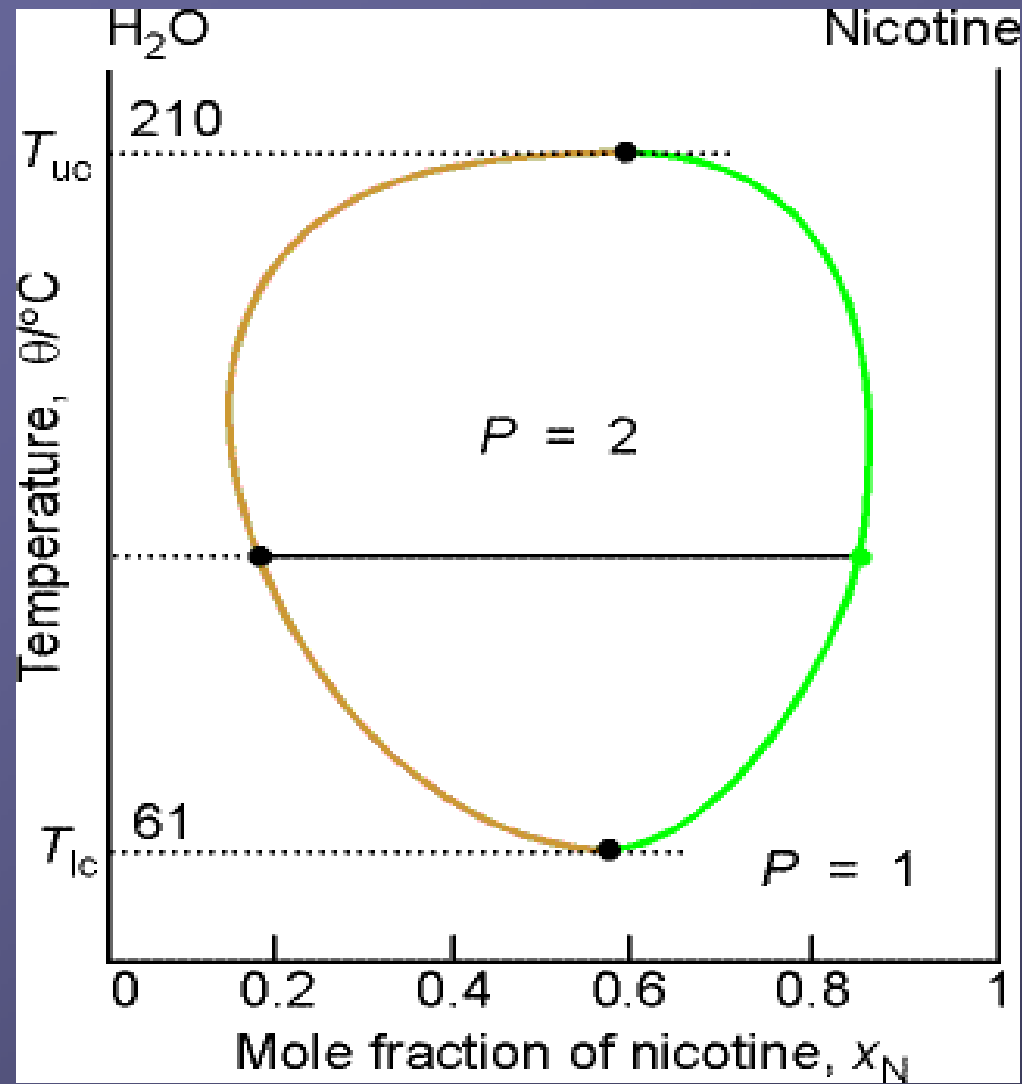
Omezeně mísitelné kapaliny
Hexan- nitrobenzen

Horní kritická teplota



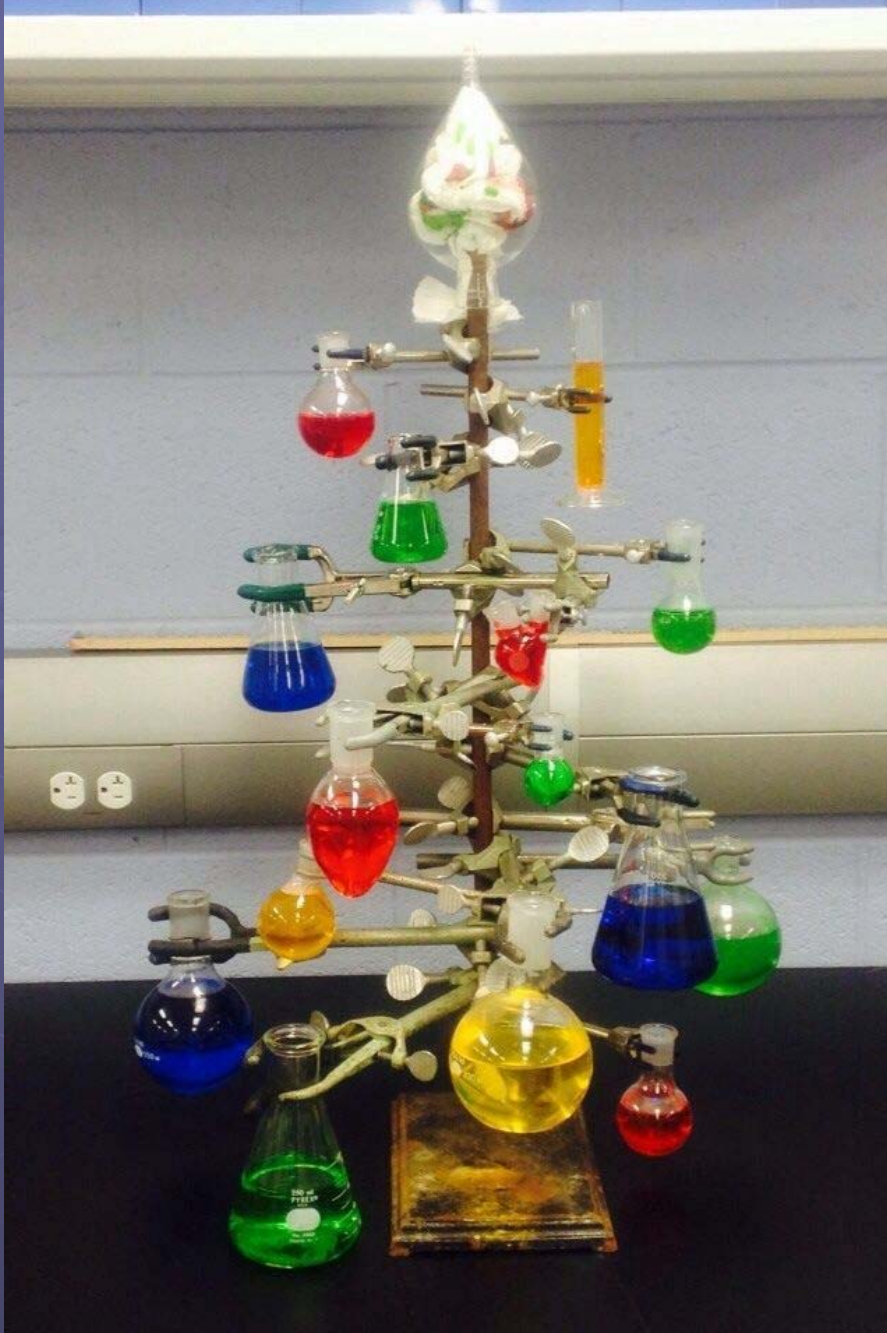
Omezeně mísitelné kapaliny
Voda - triethylamin

Dolní kritická teplota



Omezeně mísitelné kapaliny
Voda - nikotin

Dolní a horní kritická teplota



1	H	Hydrogen 1.008
2	He	Helium 4.003
3	Li	Lithium 6.941
4	Be	Beryllium 9.012
5	B	Boron 10.811
6	C	Carbon 12.011
7	N	Nitrogen 14.007
8	O	Oxygen 15.999
9	F	Fluorine 18.998
10	Ne	Neon 20.160
11	Na	Sodium 22.990
12	Mg	Magnesium 24.305
13	Al	Aluminum 26.982
14	Si	Silicon 28.086
15	P	Phosphorus 30.974
16	S	Sulfur 32.066
17	Cl	Chlorine 35.453
18	Ar	Argon 39.948
19	K	Potassium 39.998
20	Ca	Calcium 40.078
21	Sc	Scandium 44.956
22	Ti	Titanium 47.88
23	V	Vanadium 50.942
24	Cr	Chromium 51.996
25	Mn	Manganese 54.938
26	Fe	Iron 55.847
27	Co	Cobalt 58.933
28	Ni	Nickel 58.893
29	Cu	Copper 63.546
30	Zn	Zinc 65.39
31	Ga	Gallium 69.732
32	Ge	Germanium 72.61
33	As	Arsenic 74.932
34	Se	Selenium 78.09
35	Br	Bromine 79.904
36	Kr	Krypton 84.80
37	Rb	Rubidium 84.468
38	Sr	Strontrium 87.62
39	Y	Yttrium 88.906
40	Zr	Zirconium 91.224
41	Nb	Niobium 92.906
42	Mo	Molybdenum 95.94
43	Tc	Technetium 98.907
44	Ru	Ruthenium 101.07
45	Rh	Rhodium 102.906
46	Pd	Palladium 106.42
47	Ag	Silver 107.858
48	Cd	Cadmium 112.411
49	In	Indium 114.818
50	Sn	Tin 118.71
51	Sb	Antimony 121.760
52	Te	Tellurium 127.6
53	I	Iodine 126.904
54	Xe	Xenon 131.29
55	Cs	Cesium 132.905
56	Ba	Barium 137.327
57	La	Lanthanum 138.905
58	Ce	Cerium 140.115
59	Pr	Praseodymium 140.908
60	Nd	Neodymium 144.24
61	Pm	Promethium 144.913
62	Sm	Samarium 150.36
63	Eu	Europium 151.956
64	Gd	Gadolinium 157.25
65	Tb	Terbium 158.925
66	Dy	Dysprosium 162.50
67	Ho	Holmium 164.930
68	Er	Erbium 167.26
69	Tm	Thulium 168.934
70	Yb	Ytterbium 173.04
71	Lu	lutetium 174.957
72	Hf	Hafnium 178.49
73	Ta	Tantalum 180.948
74	W	Tungsten 183.85
75	Re	Rhenium 186.207
76	Os	Osmium 190.23
77	Ir	Iridium 192.22
78	Pt	Platinum 195.08
79	Au	Gold 196.967
80	Hg	Mercury 200.59
81	Tl	Thallium 204.383
82	Pb	Lead 207.2
83	Bi	Bismuth 208.990
84	Po	Polonium [208.962]
85	At	Astatine 209.997
86	Rn	Radon 222.018
87	Fr	Francium 223.020
88	Ra	Radium 226.025
89	Ac	Actinium 227.028
90	Th	Thorium 232.038
91	Pa	Protactinium 231.036
92	U	Uranium 238.029
93	Np	Neptunium 237.048
94	Pu	Plutonium 244.064
95	Am	Americium 243.061
96	Cm	Curium 247.070
97	Bk	Berkelium 247.070
98	Cf	Californium [251.089]
99	Es	Einsteinium [254]
100	Fm	Fermium 257.095
101	Md	Mendelevium 258.1
102	No	Nobelium 259.101
103	Lr	Lawrencium [252]
104	Rf	Rutherfordium [261]
105	Db	Dubnium [262]
106	Sg	Seaborgium [265]
107	Bh	Bohrium [264]
108	Hs	Hassium [269]
109	Mt	Meltetrion [268]
110	Ds	Darmstadtium [266]
111	Rg	Roentgenium [272]
112	Cn	Copernicium [277]
113	Uut	Ununtrium unknown
114	Fl	Flerovium [289]
115	Uup	Ununpentium unknown
116	Lv	Livermorium [298]
117	Uus	Ununseptium unknown
118	Uuo	Ununoctium unknown